



IN2P3

Institut national de **physique nucléaire**
et de **physique des particules**

Electronics Developments at IN2P3

- IN2P3 Profile
- Instrumentation Network
- Microelectronics for Instrumentation

Ecole de microélectronique IN2P3 2015 – Fréjus
Claude Colledani



Présentation faite à Topical Workshop on Electronics for Particle Physics

- Constat
 - IN2P3 et IRFU conçoivent de l'électronique pour les expériences au CERN
 - Les manips au LHC ont un effet moteur
 - Et pour BEAUCOUP d'autres
- Motivation externe
 - Donner une vision plus complète de nos instituts à la communauté internationale HEP centrée au CERN
- Motivation interne
 - Une diversité qui gagne être connue de tous
 - Y voir les avantages
 - Réutilisation des circuits sur plusieurs expériences, gain en ressource et en temps
 - Y voir les risques
 - Emiettement , compétition interne stérile, perte de masse critique

Fil conducteur de la présentation

- Vision synthétique de la μE à IN2P3 et IRFU passant par
 - Présentation des domaines d'intervention de l'IN2P3 et de l'IRFU
 - Présentation du réseau d'instrumentation
 - Positionnement de la μE dans le réseau
- Illustrations de la μE via les thématiques réseaux
 - Pour l'ensemble des domaines de physique
- Avancées le long d'axes de développements
 - Plateformes, familles d'ASIC
- Qui produisent
 - Réalisations placées sur des expériences
 - Circuits dérivés/modifiés pour d'autres applications

Pas de labos mentionnés
Seuls apparaissent
In2p3 et Irfu

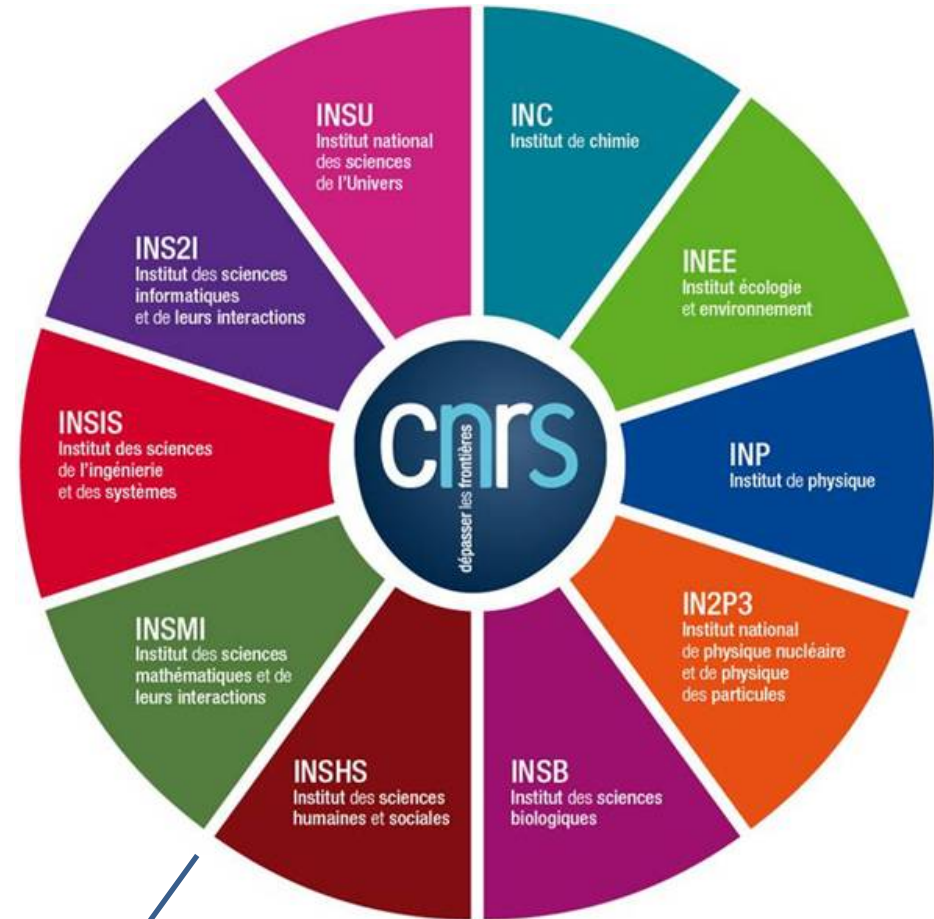
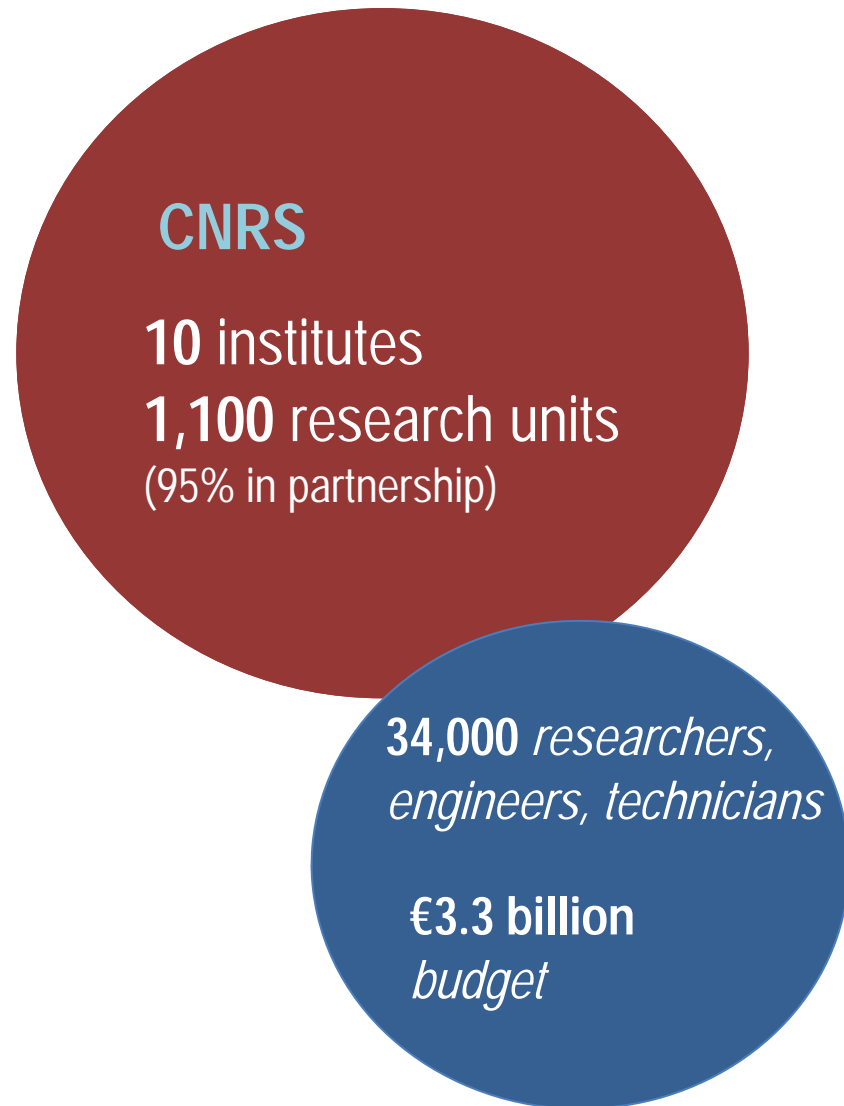


Version μE 2015

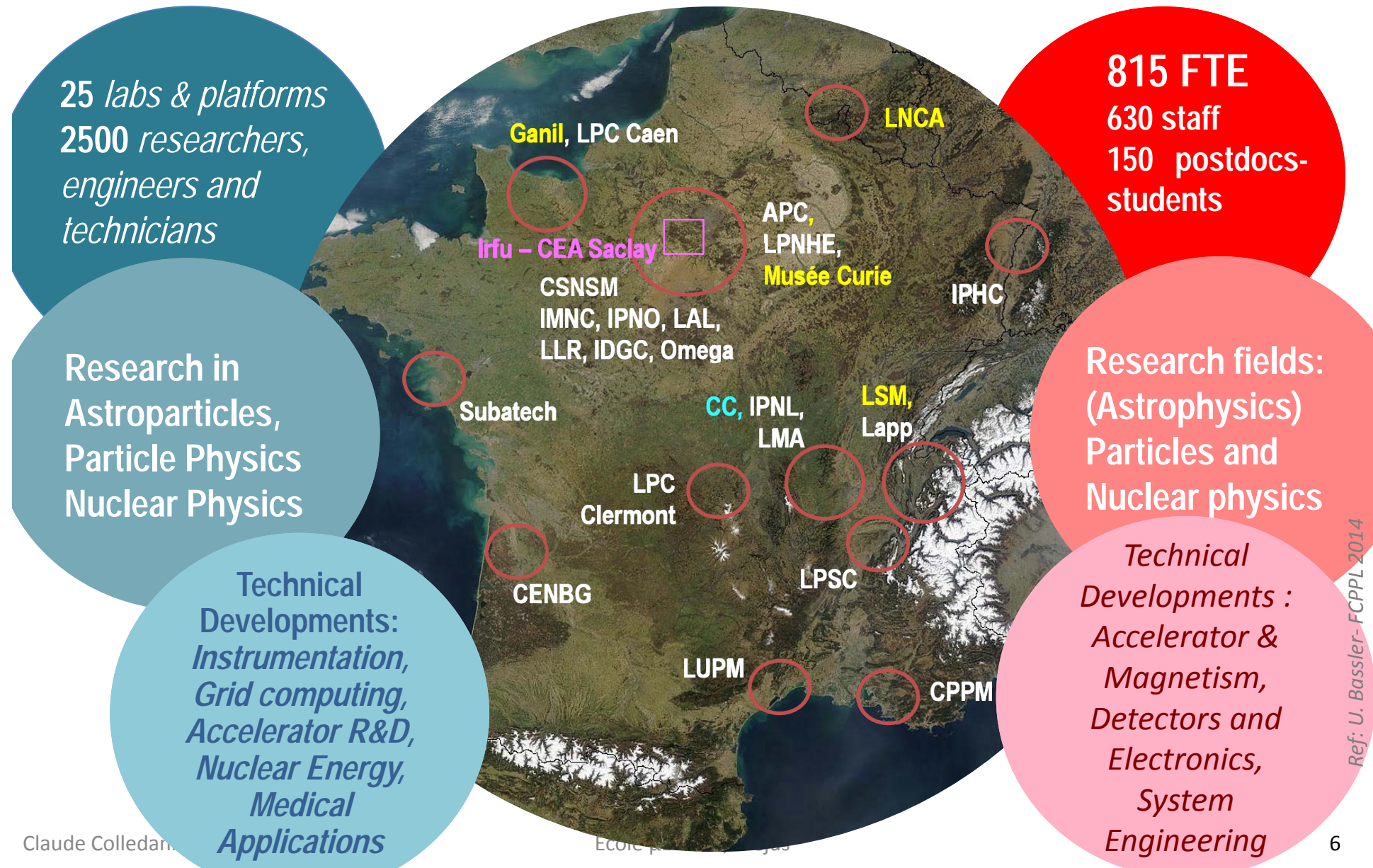
- Ne déroge pas aux buts premiers mais avec plus d'interactivité
 - Les spécialistes des circuits sont dans la salle → L'occasion pour rendre cette présentation interactive en faisant
- MAJ sur les circuits mentionnés
 - Bilan de réalisation du cahier des charges
 - Bilan de Production, de Mise en service (Durée de vie / Fiabilité)
 - Impact du circuit dans la communauté Nat/Internationale
- Evolution du circuit / du savoir-faire accumulé
 - Question: Aujourd'hui feriez-vous les mêmes choix?
 - Contraintes pour Evolution et **Breakthrough**
 - Architecture, Blocs fonctionnels / Building blocks
 - Moyens RH / Techno (process)
- Au niveau de chaque équipe
 - Collaboration sur ces thématiques
 - Les échanges entre labos du réseau μE / Autres



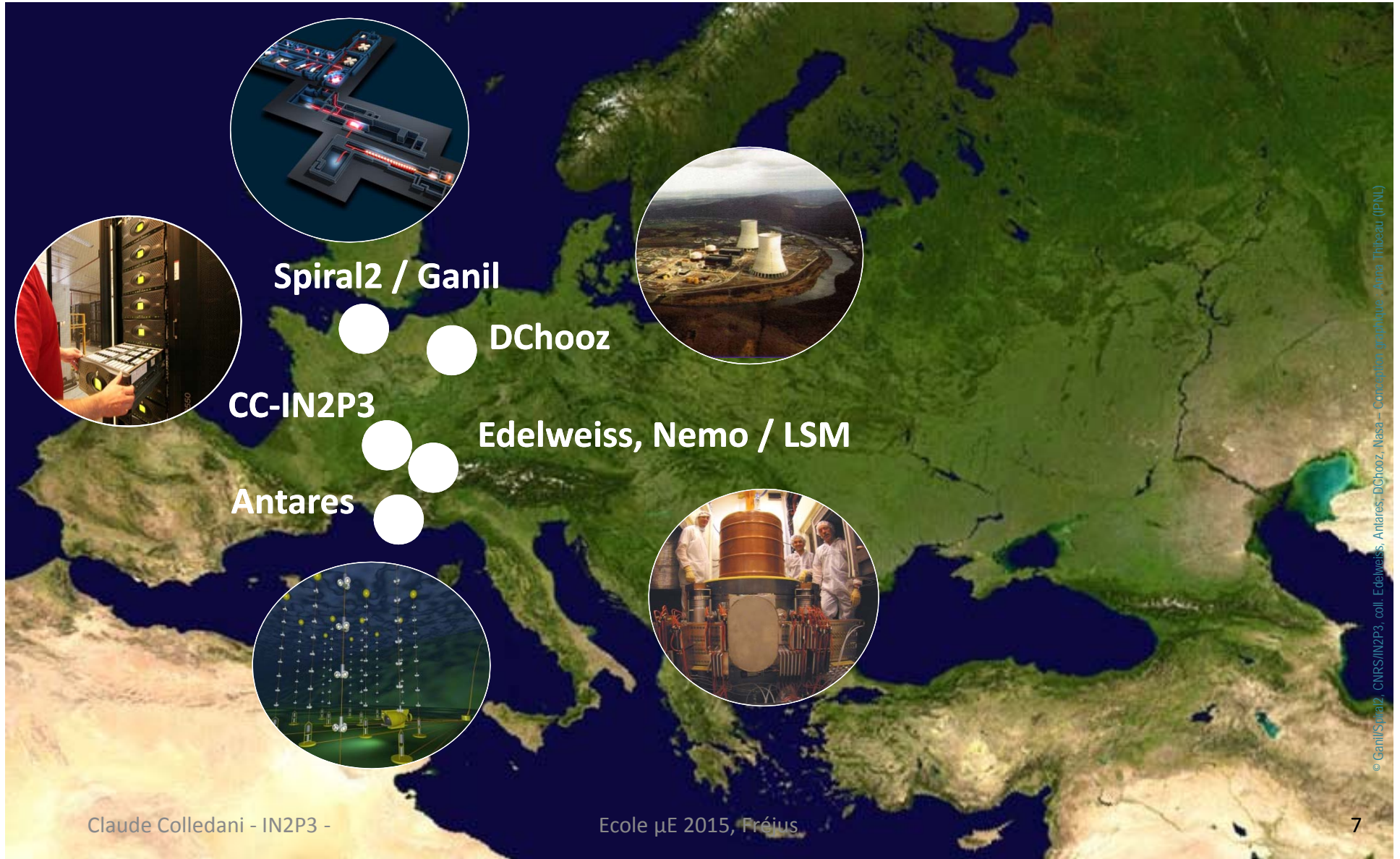
IN2P3, one Institute of CNRS



Où fait-on de la μE ?
INP, INSU, INSIS ?



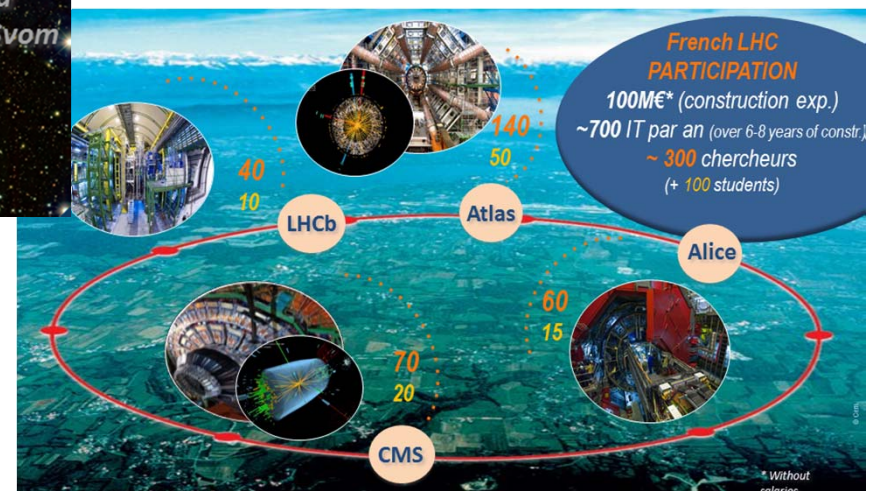
Research Infrastructures



International Collaborations



- 40 Major International Projects



Instrumentation

- Supporting Instrumentation R&D
 - 730 Engineers & Technicians

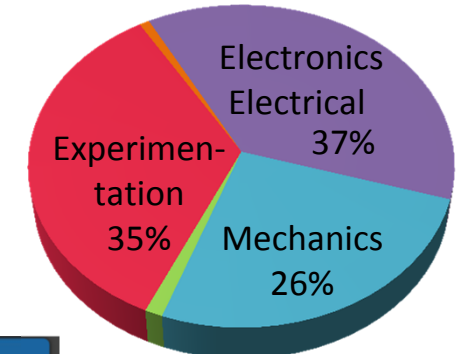
- Instrumentation Network setup in 2012
 - To improve exchanges between experts
 - To promote common actions

- 5 Topics
 - Radio-detection
 - Cryogenic Detectors
 - Photo-detectors
 - Gaseous Detectors
 - Semiconductor Detectors

- 3 Transversal Topics
 - R&D for Mechanics
 - DAQ
 - Microelectronics

+ 07/2014:
Command & Control

Claude Colledani - IN2P3 -



Journée instrumentation du 25 novembre 2013

présenté par Catherine Clerc (LLR-Ecole polytechnique)

lundi 25 novembre 2013 de 14:30 à 18:30
à Auditorium Campus CNRS Gérard Mercator
3 rue Michel-Ange 75016 PARIS

Description *** OUVERTE A TOUS ***
Documents: Affiche | accès campus

Support Email: stephanie.ulhaq@admin.cnrs.fr

Journée simulation réseau semi conducteurs, 17 juin 2013 (IPNO)

présenté par Jean-Claude Clemens (IN2P3-Irfu)

lundi 17 juin 2013 de 14:00 à 17:00
à Auditorium Irène Joliot-Curie, IPNO, Orsay

Description Le programme de la journée

AGENDA

présenté par Jean Peyré (CNRS_IPNO)

du mardi 18 juin 2013 à 19:00 à vendredi 21 juin 2013 à 12:00 (Europe/Paris)

Instrumentation Days on gaseous detectors

25-26 juin 2014
Auditorium Irène Joliot-Curie, IPNO, Orsay
Europe/Paris timezone

Overview
Timetable
Agenda (French)
Practical information
Registration
[Registration form](#)
List of registrants
Poster

support
gaz2014@ipno.in2p3.fr

Venue : IPNO, Auditorium Irène Joliot-Curie, bâtiment 100M, 15 rue Georges Clémenceau, 91406 Orsay

Organizing Committee :

D. Bernard	LLR	A. Delbart	Irfu/Cea Saclay
P. Dupieux	LPC Clermont	J. Giovinazzo	CENBG
D. Guillaudin	LPSC	I. Laktineh	IPNL
G. Lehaut	LPC Caen	J. Pancin	GANIL
J.-L. Pedroza	CENBG	J. Peyré	IPNO
D. Thers	Subatech	Th. Zerguerras	IPNO
P. Guaraccia	IPNO	M. Chefdeville	LAPP
S. Barsuk	LAL		

9

Présentations encore possibles

Présentation Orale	Sujet
Pôle MicRhAu	Activités du pôle
APC	Instrument QUBIC dédié à la détection des modes B du fond diffus cosmologique Intégration et mise en œuvre d'1/4 de plan focal
Poster	Sujet
LPC-CAEN	Système de PAC
OMEGA	Réalisations ASIC
IPHC	Télescope de faisceau



cnrs

www.cnrs.fr

Claude Colledani - IN2P3 -

Ecole μ

Jeudi 18 juin 2015

Amphi Charpak, LPNHE, 75005 Paris

Programme et inscription : <https://indico.in2p3.fr/event/11589/>

DAQ Network

- Existing since 2011
→ 30 people
- Promoting
 - Common standards
 - Design reuse, shared FPGA IPs
 - Common developments centered on
 - LHC upgrades
 - GANIL experiments
- Strong interest in xTCA
 - Member of PICMG
 - *PCI Industrial Computer Manufacturers Group*
 - Working Group of xTCA for Physics
 - Clocks, Gates and Trigger distribution



LHCb : Prototype Board



BAORADIO- PAON:
Digitizer Frequency Separator



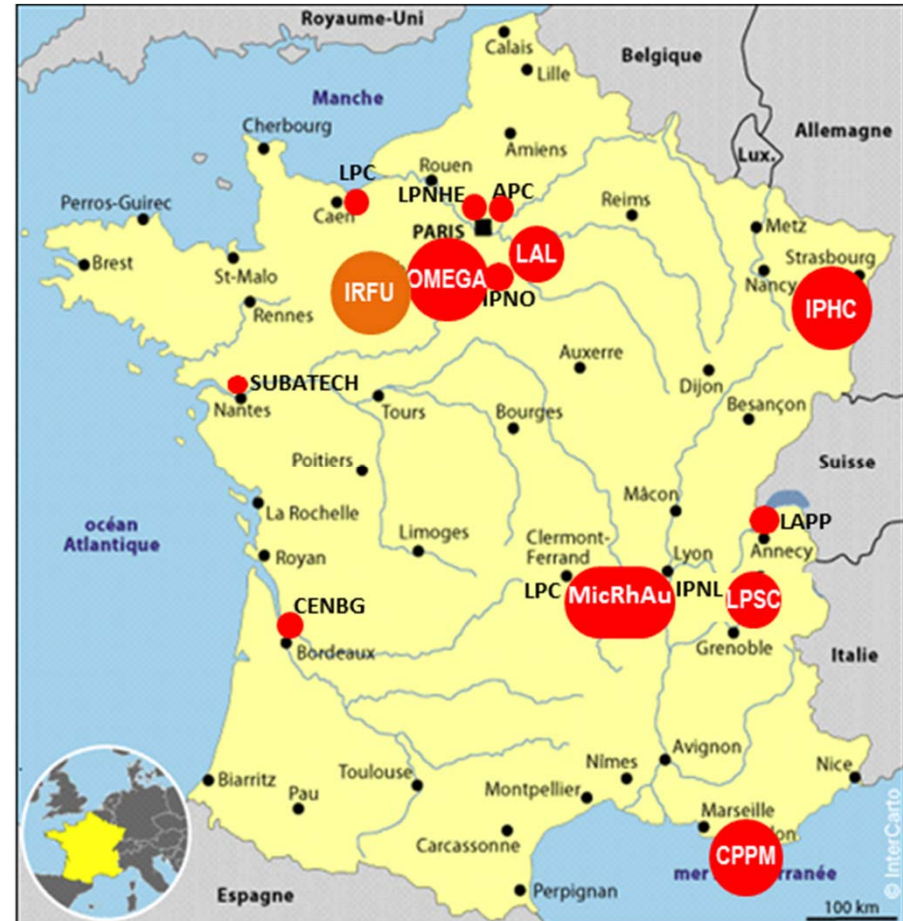
ATLAS LArg Cal: ATCA ABBA



SPIRAL2/FAIR : MUTANT

Microelectronics Network

- Since 2005
- 14 Teams (+ Irfu)
 - 7 teams ≥ 4 designers
 - 3 teams ~ 10 people
- Internal meetings
 - School (1 week), alternating with
 - Workshop (2 days)
- Collaborations
- Knowhow / IP exchanges
- CAD tools
 - Unified management
 - License server @ IT Center
 - Training program
 - 100 days / year for Cadence ASIC and PCB, ~35 Engineers/Technicians



Membres du réseau µE

	LABO	Permanents	PostDoc/CDD	PhD	Masters	Autres	Permanents + CDD + PhD
APC	2	1	0				
CENBG							
CPPM	6	1	1	3			
GANIL	0	0	0				
IPHC	18	2	1	2			
IPNO	4	0	0				
LAL	5	0	0				
LAPP	2	0	1				
LPC_Caen	3	0	0				
LPNHE	2	0	0	1			
LPSC	4	0	3				
MicRhAu	12	0	1	5			
OMEGA	9	1	0				
SUBATECH	2	0	0				
IRFU	7	0	0	1	1 DUT		
TOTAL IN2P3	69	5	7	11			81
Gd Total	76	5	7	12	1		88
	67		2012				99
	76						

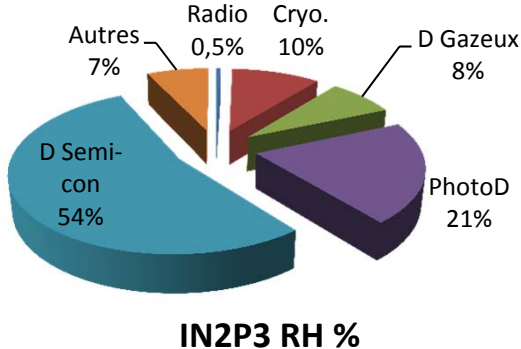
Grande diversité
mais
Confusion

Pas des ETP

Profils annoncés
Analog
Analog /mixte /test
Analog et digital
Analog FE
Analog/Digital
Analog/digital et test
Analog/FE/BE/Mixte
Analog/Mixte
Analog/mixte /test
Analogique
Analogique FE CAD
Digital
CAO & Cad support
Mixte FE
Numerique
NumériqueBE, Support
TCAD simulation and test
Test
TCAD/Analog/Mixte/Test

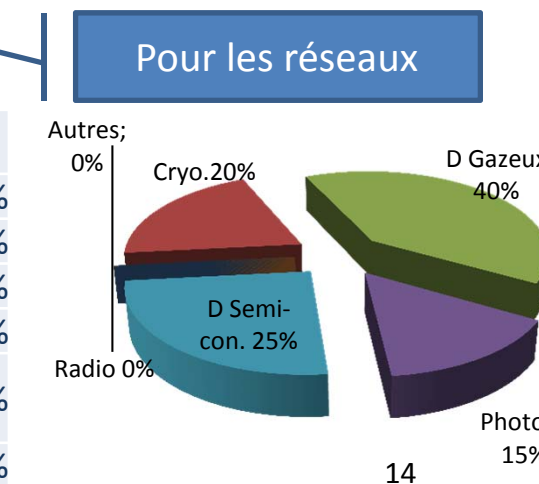
Nomenclature réajustée

TCAD	Etude du semi-conducteur
Analog	Conception analogique FE+BE
Analog/Mixte	Conception analogique et sous-ensemble numérique "full custom". Conception schéma + Simulation mixte + Routage manuel et semi-automatique sous Virtuoso
Numérique	Conception HDL. Simulation sur test bench HDL. Synthèse, Placement-Routage automatique sous Encounter
FE	Conception, Simulation
BE	Réalisation Layout: Virtuoso ou Encounter
Support	Installation, Support outils et kits
CAO	Réalisation cartes PCB pour test
Test	Réalisation banc de tests. Participation à la définition de la testabilité et de la caractérisation des circuits. Mise en oeuvre
Intégration System	Implantation de l'architecture du SoC



Réseau	IN2P3 RH %	IRFU %
Radiodétection	0,5%	0%
Cryogénie	10,3%	20%
Détecteurs gazeux	7,8%	40%
Photodétecteurs	20,7%	15%
Détecteurs semi-conducteurs	54,1%	25%
Autres	7,1%	0%

Profils selon nomenclature	
TCAD/Analog/Test	2
Analog/FE	4
Analog	12
Analog/Mixte	30
Analog/Mixte/Test	11
Analog/Numérique/Test	5
Numérique	9
Numérique/Support	3
CAO & Cad support	2
BE	2
Test	8
Total	88





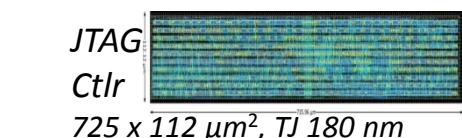
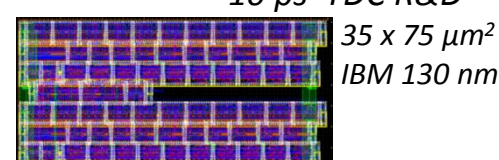
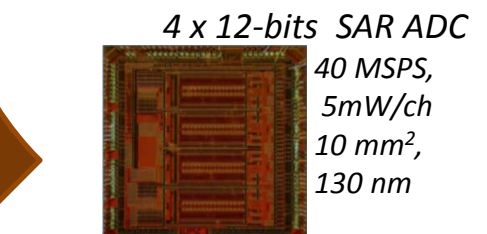
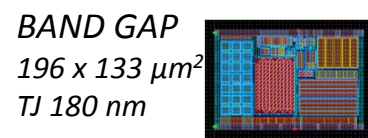
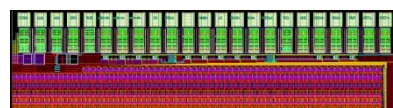
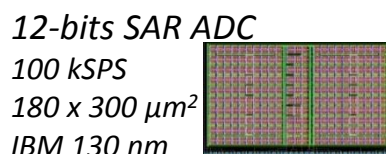
Enseignement

LABO	Matière/ Observation	Niveau
CPPM	Cours de conception de circuits numériques	Electronique, MASTER II
IPHC	Cours de µE, 1 E-C	Master
LAPP	Electronique de base 1 E-C	IUT 1ere année
LPSC	Electronique de base	Master
	Signal processing	ESIPAP
	Microélectronique	Cours d'initiation au Maghreb et Afrique de l'Ouest
	Microélectronique, 1 E-C	Master I & II (Clermont) DUT mesure phys (Clermont) Ecole Ingé CPE- TP (Lyon)
MicRhAu	Microélectronique	Master II - TP (Lyon)
	Microélectronique TP	Ecole polytechnique, 3e année ENSTA
IRFU		Centrale-Supelec, Ingé. 1 ^{ère} année ESIPE, Apprentis Ingénieur

Building Blocks

Low noise, low power & radiation tolerant
Analog, Mixed, Digital

- FE amplifiers, shapers
- Band Gaps, Regulators, POR
- RO & Ctrl: Serializer, Tx , I2C, JTAG
- Memories: Analog / Digital
- DAC / ADC / SoC A-based, D-based



BB design from the point view of the Merlin Legend

System Level Design for SoC

Functional Block Assembly

- Multi-Channel FE + Massive A 2 D
- Data Reduction Processing
- Memory Buffers/ Management
- Embedded Regulation Systems

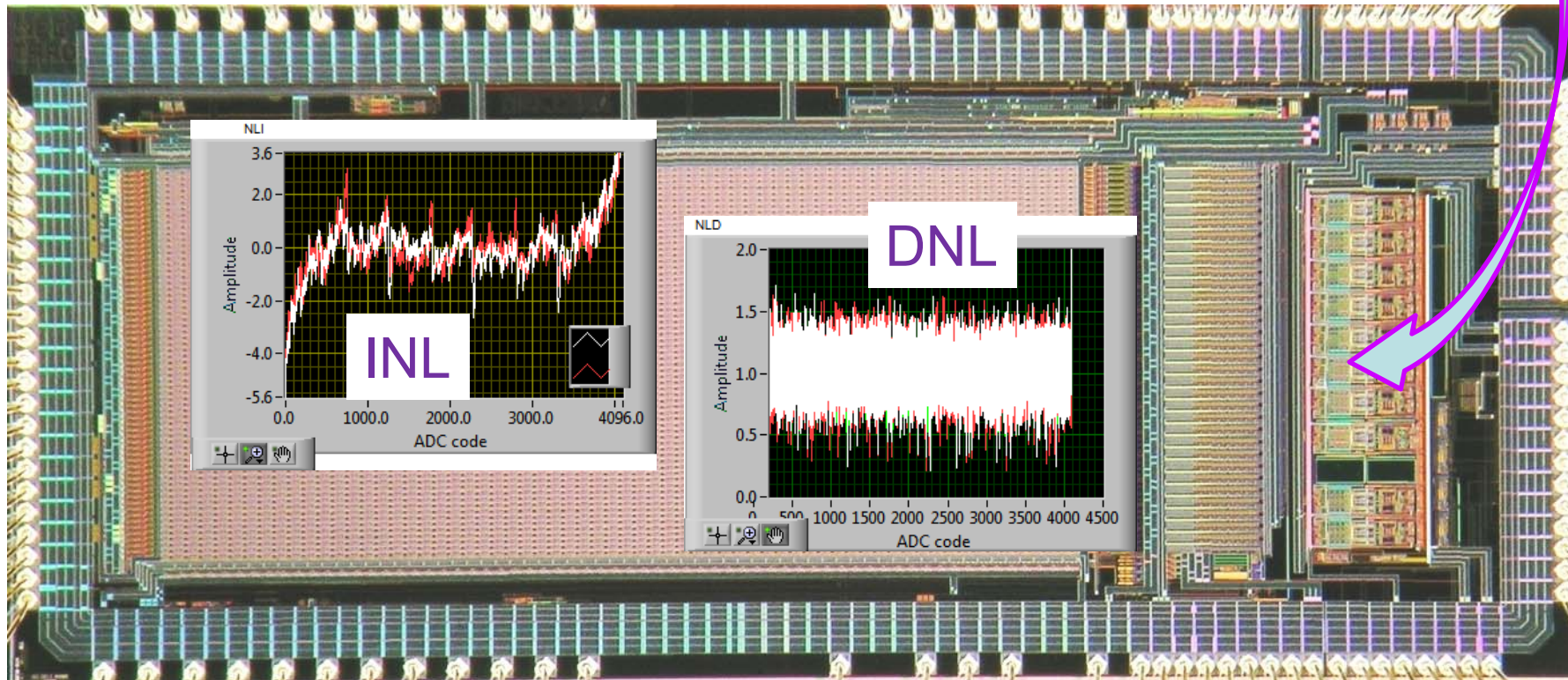
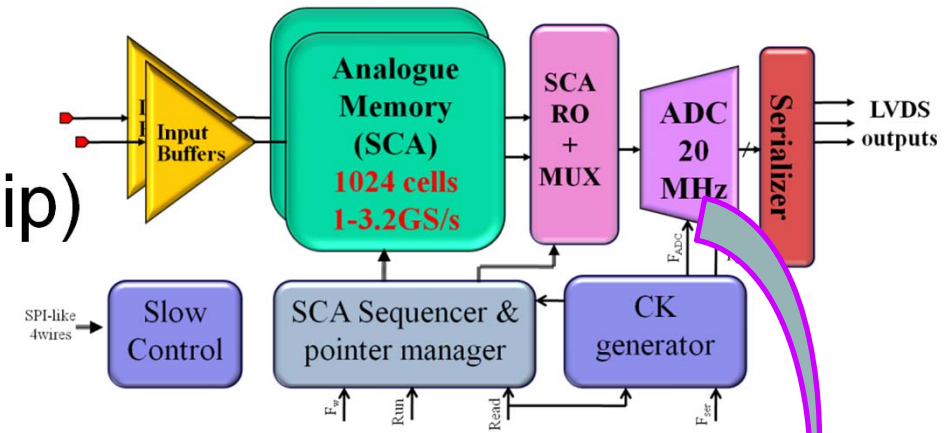
Distribution

- Power Distribution Grid / Domain
- Clock Distribution
- Data Flow



ADC_IP pour collaboration CTA: NECTAR

- 2 read-out channels
- CMOS 0,35µm: 3x7mm(chip)
- (premier circuit de ce type)





Bilan de cette collaboration (IRFU/LPSC)

Condition de réussite d'IP

- *Bilan de réalisation du cahier des charges*
- *Bilan de Production, de Mise en service (Durée de vie / Fiabilité)*
- *Impact du circuit dans la communauté Internationale*
- *Question: Aujourd'hui feriez-vous les mêmes choix?*

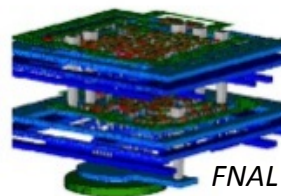
Vrai partenariat , Respect mutuel et implication forte

- **Mieux que prévu, et meilleurs que nos propres résultats**
- **Production: OUI, Fiable, très reproductible=> design robuste**
- **Plusieurs publis communes; CTA/HESS**
- **Oui sans hésiter, mais avec une architecture SAR**

Looking for synergies

- **Participating to International R&D Programs**

- RD53 (2013),
- AIDA (2011) + H2020
- EUDET (2006-2010)
- 3DIC - TSV (2009)



- **Sharing Process**

- Successive CERN nodes (65 nm, 130 nm & 180 nm for MAPS)
 - 9 laboratories applying for 65 nm TSMC NDA

- Specific & cheap processes
 - Large usage of CMOS / BiCMOS- SiGe .35 μm
 - Equivalent 180 / 130 nm nodes are considered

- For the numerous non-CERN experiments
 - Few tens of channels to integrate , Limited ASIC production



Process 2015

Technologie	Nœud	# Labos (C + N + P)	Labo
AMS	350 nm BiCMOS SiGe	5	APC, IPNO LAPP, OMEGA, IRFU
AMS	180 nm CMOS	4	CPPM, LPC-Caen, LPNHE,
AMS	350 nm CMOS	8	CPPM, LPC-Caen, LPNHE, LPSC, MicRhAu, Subatech, IRFU, IPHC
ESPROS	150 nm CMOS	1	IPHC
GF / Tezzaron	130 nm CMOS / 3D	1	CPPM, OMEGA(A), IPHC(A)
Global Foundry	130 nm CMOS	1	CPPM, IPHC(A)
IBM	130 nm CMOS	2	MicRhAu, LPSC, CPPM?
LFOUDRY	150 nm CMOS	2	CPPM, IRFU(N)
ST Micro	130 nm CMOS (?)	1	LPSC(N)
ST Micro	130 nm SIGE	1	OMEGA(N)
ST Micro	140 nm IMG	1	LPSC(N)
TOWER JAZZ	180 nm CIS	2	IPHC, IRFU
TOWER JAZZ	130 nm SiGe	1	OMEGA(N)
TSMC	65 nm CMOS	9	CPPM, IPHC, LAL, LAPP, LPNHE, LPSC, MicRhAu(2x), OMEGA, NDA
TSMC	130 nm CMOS	2	MicRhAu, OMEGA
XFAB	350 nm CMOS	2	IPHC(A), IRFU(N)
XFAB	180 nm CMOS	2	IPHC(P), IRFU(N)

Total process

17

C /. = Courant; P = Ponctuel

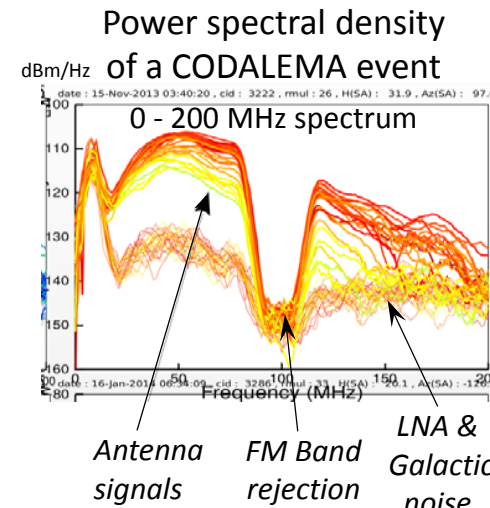
N = Nouveau; A = Abandon 20

Looking for synergies

- **R&D covers all IN2P3 physics and detectors domains**
 - Large discrepancy in the projects size → From small analog ASIC to full SoC
 - Impact Design teams profiles
 - Impact on process # 
 - New designs always required → Design Reuse has to be considered first
 - Impact on manpower, schedule, budget 
 - Pushing for coherent ASIC families development, which will provide flexible designs and staged performances 
- **Detector Networks must help to converge**
 - Following of presentation is organized by detector categories
 - Focus on circuits Designed for specific projects,
Reused for other applications 

Radio-detection Network

- Full Custom Analog ASIC - LNA optimized for associated antennas
 - Developed to detect Air Showers produced by Ultra-High-Energy cosmic rays
- LONAMOS for Butterfly & LWA
 - Optimized for 20-80 MHz
 - Efficient up to 200 MHz
- Small but Successful
 - 1st generation, 0.8 µm CMOS
 - 2004, 400 chips
 - 2nd generation, 0.35 µm CMOS
 - 2011 700 chips
 - 2014 6000 chips

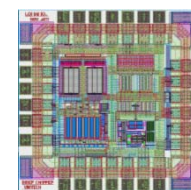


Butterfly Antenna, 2.2 x 1.5 m
Codalema @ Nancay - France



Long-Wavelength Antenna
NenuFAR @ Nancay - France

Experiment	Installed
CODALEMA@ Nançay-France	(60 Butterflies + 10 LWA) x 2
AERA @Auger-Argentina	(100+25 Butterflies) x2
TREND @ China	(54 Butterflies) x 2
HELYCON @ Greece	(12 Butterflies) x2
NenuFAR @ Nançay-France	(190 LWA x 2) + 5600



LONAMOS 1,4 x 1,4 mm²
CMOS 0.35 µm , 2011

Fully differential architecture
Zin digitally adjustable
OIP3=33dBm
NF<1dB
Gp=27dB
BW>200MHz

MAJ Radio NET

- Didier Charrier-

- Point sur les circuits mentionnés
 - Bilan de réalisation du cahier des charges
 - Bilan de Production, de Mise en service (Durée de vie / Fiabilité)
 - Impact du circuit dans la communauté Nat/Internationale
- Evolution du circuit / du savoir-faire accumulé
 - Question: Aujourd'hui feriez-vous les mêmes choix?
 - Contraintes pour Evolution et **Breakthrough**
 - Architecture, Blocs fonctionnels / Building blocks
 - Moyens RH / Techno (process)
- Au niveau de chaque équipe
 - Collaboration sur ces thématiques
 - Les échanges entre labos du réseau μE / Autres
- AOB + Qui d'autre veut intervenir sur la μE pour ce réseau





Wide bandwidth RF design

- transient signal to be detected can be much weaker than parasitic signals
 - for radio detection: signal amplitude can be ~70dB less than radio transmitters
 - Wide bandwidth needed (transient detection) ==> high input power Pin
 - May decrease Pin by low order input filtering but phase distortion (pulse spreading)
 - poor linearity ==> additional noise(intermodulation products) in the useful bandwidth
 - ==> linearity(IP2, IP3,...) is not less important as noise characteristics
- Design of low noise AND high linearity amplifier
 - require high IPn values in the full bandwidth at least up to FM band (88-108MHz)
 - difficulty to improve both linearity and noise
 - trade off between linearity, noise, bandwidth, phase distortion, consumption...

spectrum performed with an antenna and a poor linearity LNA(IIP3=63mV) at Nançay



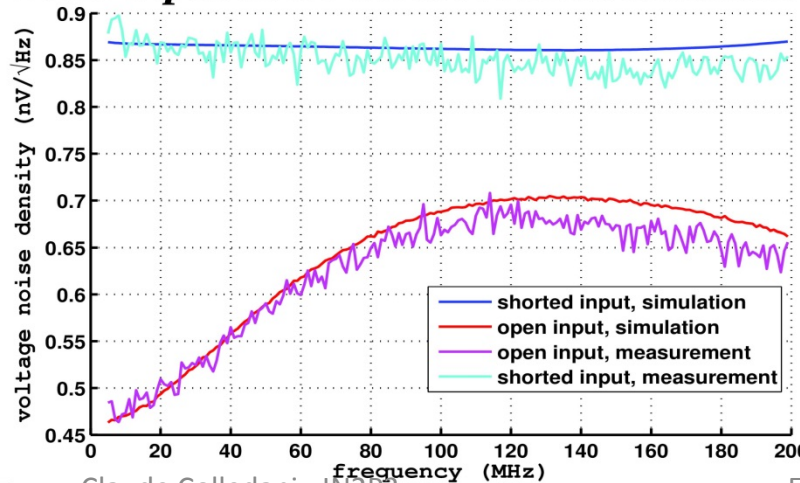


LONAMOS measured characteristics

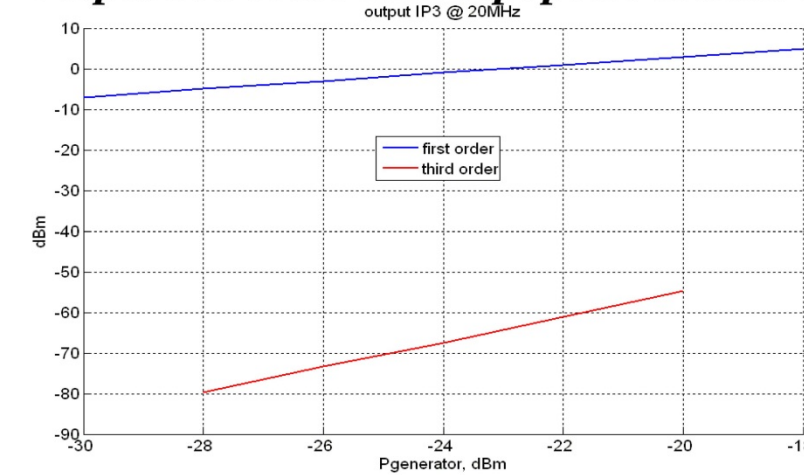
OIP3	33 dBm	bandwidth	>200 MHz
IIP3	1.1 V	$ S_{12} $	-63 dB
OCP(-1dB)	15 dBm	$ S_{22} $	-18 dB
NF(matched)	0.8 dB	input impedance	adjustable
NFopt	0.7 dB	gain drift	-0.004 dB/K
Gp	27 dB	consumption	310 mW
$\sigma(G_p)$	0.07 dB	production yield *	98.5 %
$-d\phi(S_{21})/d\omega$	2 ns	package*	QFN20

- Fully differential architecture
 - input differential pair
 - output common source push-pull
 - reject even order harmonics
 - reject common noises
 - no input BALUN required
- Feedback
 - with linear component
 - high open loop gain up to FM band
- no external lightening clamp required
- unexpensive AMS CMOS 0.35 μ technology

Total input noise measurement/simulation



Output 3rd order intercept point measurement

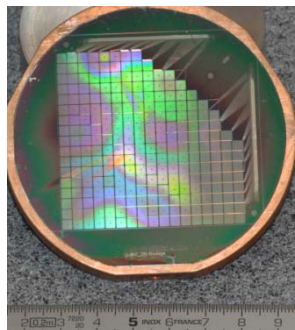




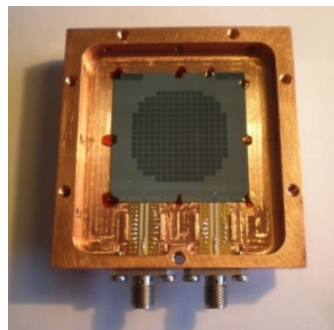
Beyond LONAMOS

- Need for an antenna-LNA with extended bandwidth up to 500MHz
 - radio detection: EXTASIS project: explore deeply low and high frequencies
 - radio astronomy: Square Kilometer Array (SKA) project ???
- Technology choice
 - need higher gm/I and higher F_t transistors
 - but need low cost technology
 - ==> SiGe AMS 0.35 μ m or IHP 0.25 μ m(Europractice)
- required characteristics
 - $G_p \sim 20\text{dB}$
 - bandwidth 500MHz
 - $IIP_3 > 13\text{dBm}$ up to 500MHz
 - antenna + LNA equivalent input noise temperature
 - < 150 K @ 50MHz
 - < 100 K @ 100 MHz
 - < 45 K @ 200 MHz
 - 30K from 300 MHz to 500MHz (AsGa may be required)

Cryogenics Network



250 pixels TES matrix
(Transition Edge Sensors)
QUBIC @ South Pole



Kinetic Inductance Detector
NIKA @ Pico Veleta, Spain

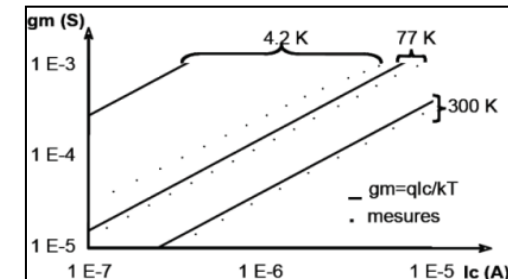


HP-Ge ionizing-heat detector
EDELWEISS @ LSM, France

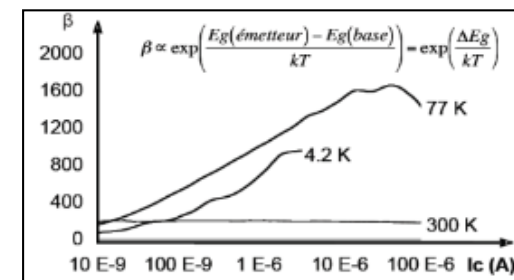


Scintillating Bolometer ZnMo4 and its 2 light detectors
LUMINEU @ LSM, France

- **Electronics main constraints @ ~2 - ~110 K (LAr)**
 - No valid transistor models → Characterization
 - Bipolar: $gm \nearrow, \beta \nearrow \dots$
 - MOS: Substrate becomes Insulated → Kink Effect
→ $T_{\text{parasitic}}, I_{\text{leakage}}, V_{\text{th}}$ history effect
- **Thermal & Electric effects of Interconnects**



Gm of SiGe bipolar $0.35\mu m$



β of SiGe bipolar $0.35\mu m$ 27

Cryogenic electronics for QUBIC

- **QUBIC Cryostat, 2016 @ Dome C - Antarctica**

- To measure Cosmic Microwave Background (B-mode polarization)

- **SQMUX128 @ 40 K**

- 16 chips for the cryogenic focal plan
 - 2048 TES (NbSi Transition Edge Sensor)
 - 2048 SQUID multiplexed stage
 - 100 KHz readout, Input LNA (0.2 nV/VHz)
- Cryogenic effects correction
 - Digital lib. redesigned (Kink effect)
- ~100 chips to produce
 - 6 cryostats

- **Variant for collaboration @ PMO**

- Purple Mountain Observatory

(Dome-A / China)

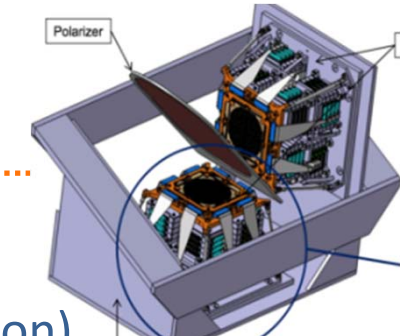


Matrix RO: configurable up to 128 SQUIDS
32 Biasing Current Sources with Diff Outputs
4 Differential Multiplexed Analog Inputs
100 kHz multiplexed Input LNA (0.2nV/VHz)
Individual automatic Squid offset compensation (8 bits ADC & DAC, FSM, 128 x 8 memory block)
8 mW Power Dissipation

Claude Colledani - IN2P3 -

SQMUX128, 20mm², 0.35 μm SiGe

Ecole pE 2015, Fréjus



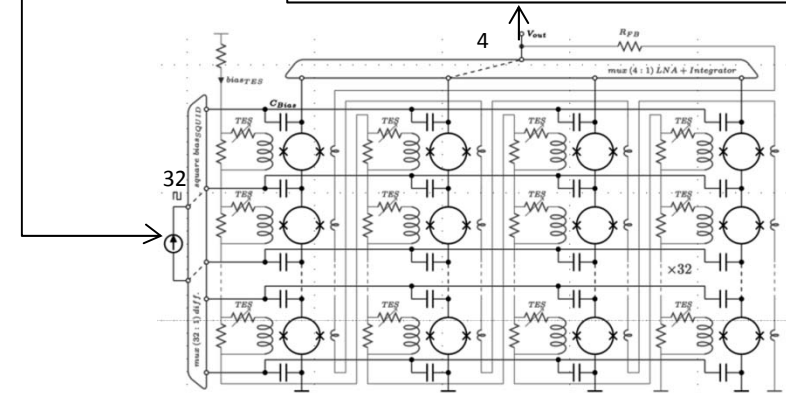
Focal plan (@100mK)

SQUID implementation



Successive bias of 32 Rows
AC Multiplexed Current Sources

4 Column Analog outputs
multiplexed toward input LNA



28

SQUID matrix Read Out

From Compact & Extreme Cold to Huge & Cold

X-ray micro-calorimeter for IXO/ATHENA satellites



- **2 stages of T: 2.5 K and 15 K**
 - Cryocooler with very-low power budget
- **3 circuits, 2 process** (CNRS/LPN - CEA/Irfu col.)
 - HEMT Input Stage @ 2.5 K (High Zin)
 - Mxp & Pwr Commuting, SiGe ASIC @ 2.5K
 - Amplifying SiGe ASIC @15 K

Stage 3 chip - Irfu-CryoCanal1
24,1 mm²

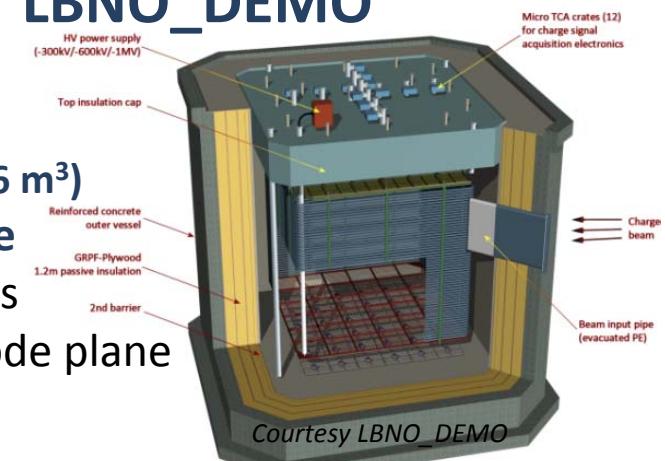


Stage 2 chip -Irfu-CryoCom1
9,4 mm²



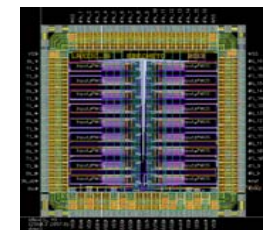
Claude Colledani - IN2P3 -

LAr TPC demonstrator, for WA105, LBNO_DEMO



- **16 ch. Amplifier + Buffer @ ~110 K**
 - To profit from minimal noise conditions
- **Schedule**
 - MPW submission : 22 September 2014
 - Production: Q3 2015
 - 8 000 channel ~ 500 chips

LARZIC chip
CMOS
~6 mm²



Ecole µE 2015, Fréjus

MAJ CRYO NET

- Damien - Edouard - Olivier -

- Point sur les circuits mentionnés
 - Bilan de réalisation du cahier des charges
 - Bilan de Production, de Mise en service (Durée de vie / Fiabilité)
 - Impact du circuit dans la communauté Nat/Internationale
- Evolution du circuit / du savoir-faire accumulé
 - Question: Aujourd'hui feriez-vous les mêmes choix?
 - Contraintes pour Evolution et **Breakthrough**
 - Architecture, Blocs fonctionnels / Building blocks
 - Moyens RH / Techno (process)
- Au niveau de chaque équipe
 - Collaboration sur ces thématiques
 - Les échanges entre labos du réseau μE / Autres
- AOB + Qui d'autre veut intervenir sur la μE pour ce réseau



1- Cryo-ASIC designed @ IPNL and MicRhAu oriented on Neutrino Physic

- Discussion starts with D.Dzahini and R.Sefri in 2006
- Main challenge : ENC = 1500e- @ 250 pF detector capacitance
- Several versions due to requirements and detector evolution
 - Wire
 - GEM
 - Unipolar and bipolar input signal
- Analog and digital block
 - CSA
 - Shaper
 - 50 Ohms Buffer
 - I2C (slow control part)

2 - Knowledge

- Model modification to improve corner frequency (1/f noise)
- V_{th} vs temperature
- R and C vs Temp

3 - Technical choices

- NMOS as input transistor (avoid power supplies problems)
- Differential structure (good for PSRR but not for noise)

4 - Next steps

- Test setup @ variable cryogenic temperature and avoid soaking circuit in liquid N₂
- WA105 project : production of 250 ASICs (end of 2015) on last version (test in progress)
- XTRACT chip for Subatech (TPC Xenon Liq, XEMIS2 project))
- ANR GENESIS for Nuclear Physic (HPGe detector) ? Waiting for ANR





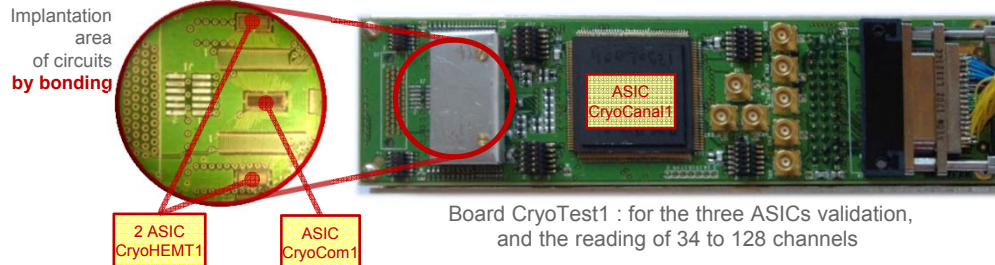
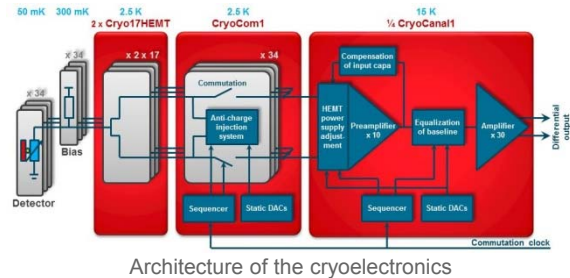
MAJ

ASICs Cryo à l'IRFU



-1-ASICs pour bolomètres X (X. De La Broise, F. Lugiez) pour applications spatiales

-Bilan des activités



Board CryoTest1 : for the three ASICs validation, and the reading of 34 to 128 channels

Les trois circuits (1 HEMT et 2 AMS SiGe 0.35) ont été produits, des échantillons ont été implantés sur une carte de test, et ils ont été **testés à très basse température (4,2 K)**.

=>**Tous les tests fonctionnels sont concluants:** amplification, commutation de l'alimentation et multiplexage temporel à plus de 1 MHz, pour la lecture de capteurs haute impédance (~1 Mohm). Les performances en bruit sont en cours d'évaluation.

-Perspectives

- Le développement des cartes finales pour la lecture d'une matrice complète de 1024 pixels, est en cours.
- Architectures des ASICs validée=> circuits finaux très proches.

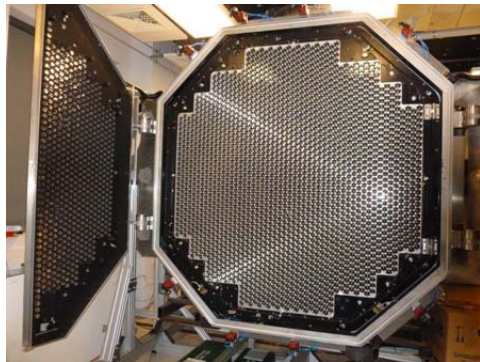
-2- ASICs pour bolomètres sub-millimétrique pour appli spatiales

Conception d'ASIC CMOS matriciel fonctionnant à 50mK pour la lecture de matrice de bolomètres (sub) mm: démarrage de l'activité en septembre 2015.

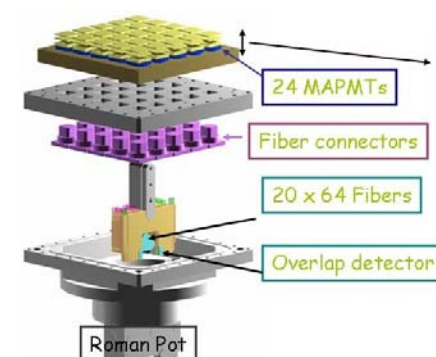


Photo-detectors Network

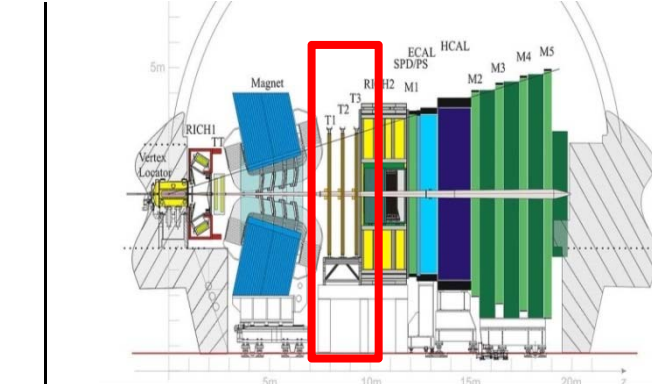
- PMT, MA-PMT, MCP-PMT, Si-PM, Scintillators, ...
 - Overlap with Semiconductors Network (CCD, SiPM, APD)



HESSII camera, 2012 - Namibia
- 2048 PMTs , Diameter 2.3m, Weight 2000 kg



*ATLAS Luminometer - CERN-
MA-PMT for Roman Pot*



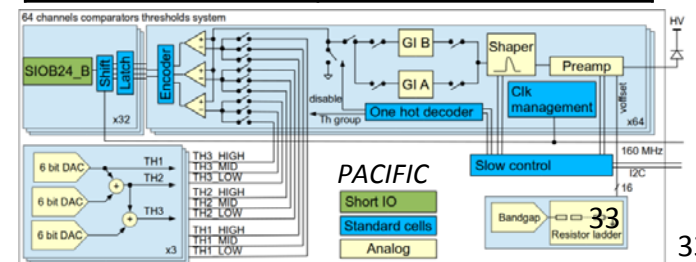
*LHCb Tracker upgrade Phase 1 - CERN
FEE for SciFi + Si-PM , 2015*

- FEE increases in complexity
- Teams with critical size / collaborations
- 2 categories of FEE
 - Shapers and Peak Detectors circuits (IN2P3)
 - Waveform Sampling circuits (Irfu)
- Successive improved generations
- Derived for different application fields

© CNRS-IN2P3, Irfu

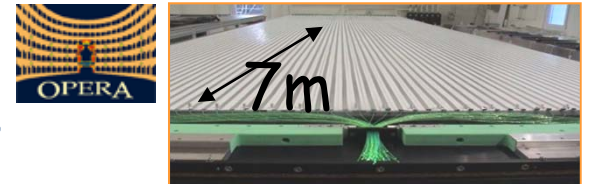
PACIFIC: Barcelona, Valencia, Heidelberg Universities,
ETH Zurich & IN2P3 Collaboration

Detector	300 000 channels
PACIFIC chip (2015)	64 ch, TSMC 130 nm
Input Dynamic Range	0.5 to 32 pe
ADC resolution	Nonlinear, 2-bit, 40 MHz
SNR	≥ 10
Mx Pwr / Ch	< 10 mW



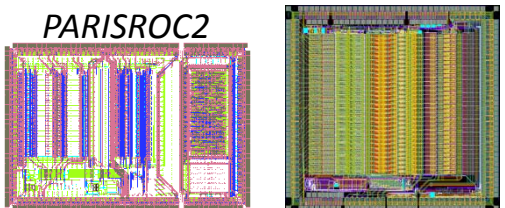
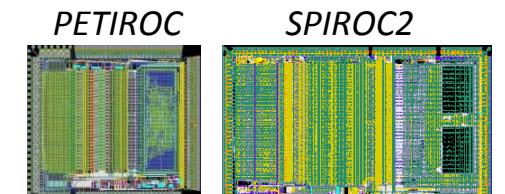
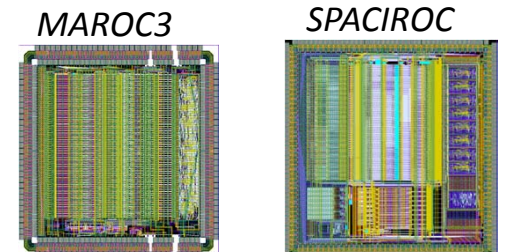
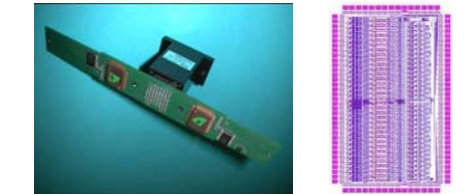
Shapers & Peak Detectors circuits

- **ROC chips : OPERA-ROC, early 2000**
 - For OPERA Target Tracker at Gran Sasso, 3000 chips



Chip	DType	Ch	Plrty	Dyn Range	Spec
MAROC	PM	64	< 0	5 fC - 5 pC	64 trigger outputs, internal 8/10/12-bit ADC for charge measurement
SPACIROC	PM	64	< 0	2 pC - 220 pC	Fast photon counting (50 Mhz)
PARISROC	PM	16	< 0	50 fC - 100 pC	Internal TDC (<1 ns), 16 trigger outputs
SPIROC	SiPM	36	> 0	10 fC -300 pC	36 HV SiPM tuning (8 bits), internal 12-bit ADC for charge & time measurement
EASIROC	SiPM	32	> 0	10 fC -300 pC	32 HV SiPM tuning (8 bits), 32 trigger outputs
CITIROC	SiPM	32	> 0	10 fC -300 pC	32 HV SiPM tuning (8 bits), 32 trigger outputs
PETIROC	SiPM	32	< 0	100 fC -300 pC	32 HV SiPM tuning (8 bits), 32 trigger outputs, internal 10-bit ADC for charge & time (25 ps)

- **Flexible Front-End → Variants suited to**
 - Detector type, # of channels, Input Dynamic Range
- **Adaptive Back-End**
 - 8/10/12-bits ADC for charge measurement
 - W /Wo time measurement, 1 ns / 25 ps TDC
 - Counting

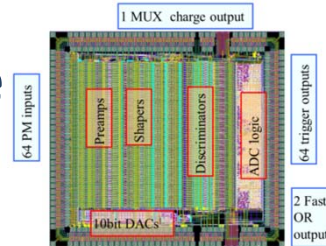


Multi-Anodes PMT Read-Out Chips



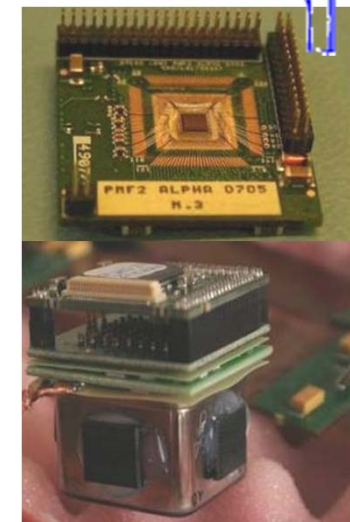
- **MAROC - From underground to space**

- Produced for ATLAS Luminometer
 - 1000 chips, 2006
- Improved Maroc3
 - 1000 chips (2010) for > 50 users
 - Double-Chooz, Neutrinos experiment
 - Memphyno, Water Cherenkov R&D
 - Medical Imaging, ...



MAROC 3, 16 mm², 0.35 SiGe

64 channels (Z_{in} 50-100 Ω)
6-bit individual gain correction
Auto-trigger on 1/3 p.e. at 10 MHz
12-bit Wilkinson ADC
Multiplexed on the Charge Output
Power = 3 mW/ch



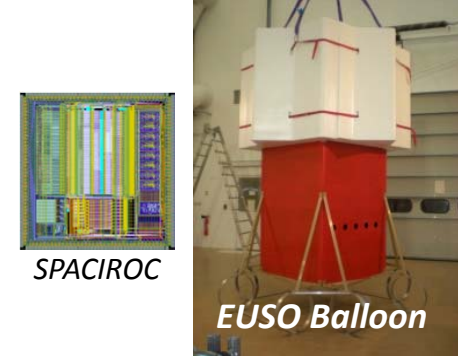
MAROC 2 for ATLAS Luminometer

- **Modified for EUSO Balloon (Launched 08/2014) / JEM EUSO**

- To observe Extensive Air Showers in the earth's atmosphere

- **SPACIROC** (Col. JAXA/Riken/Konan University)

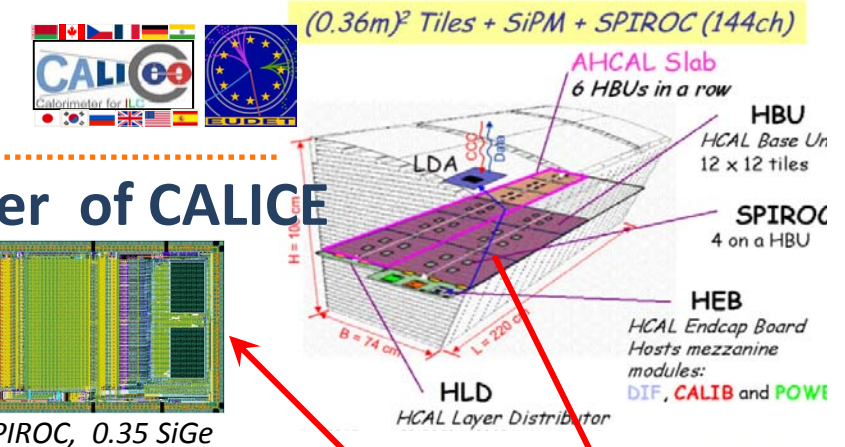
- Analog Front-End (64 ch): ~MAROC3
- Back-End: Charge digitization replaced by TOT photoelectrons counting (<50MHz)
- Improved power consumption < 1 mW/ch
- Radiation tolerant : triple voting



Ecole µE 2015, Fréjus

SiPM Readout chips

- SPIROC for Analog hadronic calorimeter of CALICE
 - F-E customized @ 36 channels
 - B-E implements Time Measurement
 - Embedded inside the detector
 - Power budget



36 ch., auto-trigger & 15bit readout
Energy measurement : 15 bits, 2 gains
Auto-trigger down to $\frac{1}{2}$ p.e.
Time measurement up to $\sim 1\text{ns}$
Power: $25\mu\text{W}/\text{ch}$ (pulsed power)

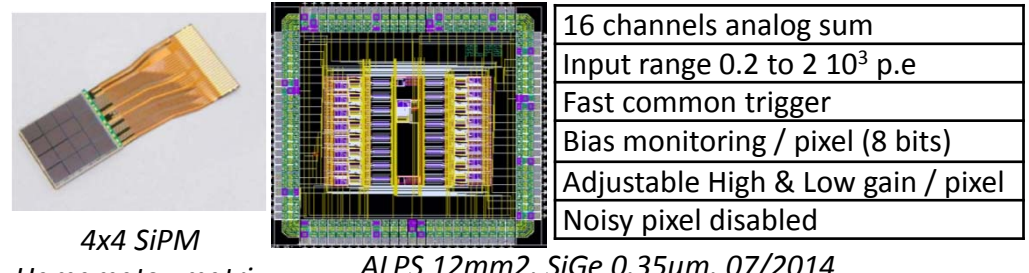


SiPM cameras for Cerenkov Telescope Array

- Small Size Telescopes → CITIROC
 - SPIROC derived
 - 32-ch, Charge & Trg , No ADC/TDC



- Large Size Telescopes → ALPS R&D
 - SiPM: an alternative to PMTs
 - Same detector among telescope classes
 - Creating a large SiPM sensor
 - Summing the pixel signals of a matrix



Switched Analog Memories

- **Fast Waveform Sampling → Amplitude & Time for signal reconstruction**
 - HAMAC by Irfu, for ATLAS LAr Calorimeter, 80 000 chips, 2002
- **Constant improvements: sampling speed, memory size, embedded A2D**

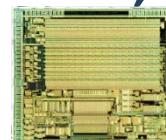
Irfu's chips for common, IN2P3/Irfu, detector developments

Analog Ring Sampler

4 Inputs @ 1 GS/s, 128 cells

AMS CMOS 0.8 μ m, 70 kT, 10 mm², 2004

ANTARES & HESS I



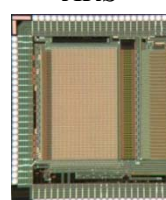
Swift Analog Memory

2 Inputs @2 GS/s, 256 cells

Embed Parallel 12 bits Wilkinson ADC

AMS CMOS 0.35 μ m., 50 kT, 11 mm², 2005

HESS II

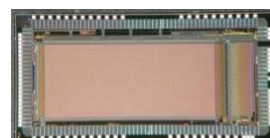


SAMLONG for SuperNEMO

2 Inputs @2 GS/s, 1024 cells

AMS CMOS 0.35 μ m, 300 kT, 18 mm², 2010-14

Implemented in VME Wave Catcher Boards

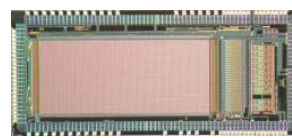


NECTAR0

2 Inputs @2 GS/s in 1024 cells

Embed X X bits X ADC

AMS CMOS 0.35 μ m., 300 kT, 21 mm², 2010

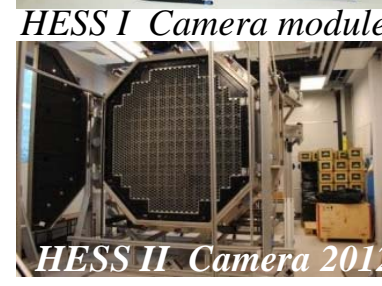
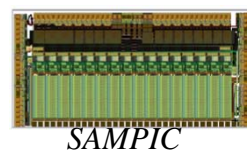


SAMPIC R&D, waveform based TDC

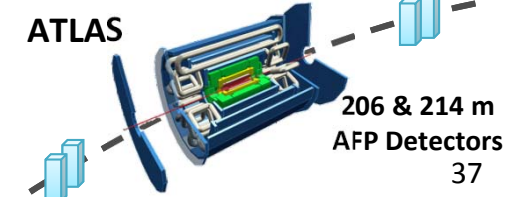
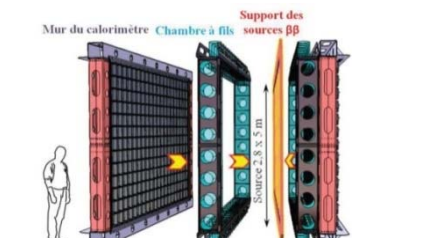
16 Inputs @10 GSPS for ~1 ps resolution

AMS CMOS 0.18 μ m, 7 mm², 2013

ATLAS Foward Physics



SuperNEMO demonstrator



MAJ Photo NET

- Philippe - Laurent - Gisèle - Richard - Olivier -

- Point sur les circuits mentionnés
 - Bilan de réalisation du cahier des charges
 - Bilan de Production, de Mise en service (Durée de vie / Fiabilité)
 - Impact du circuit dans la communauté Nat/Internationale
- Evolution du circuit / du savoir-faire accumulé
 - Question: Aujourd'hui feriez-vous les mêmes choix?
 - Contraintes pour Evolution et **Breakthrough**
 - Architecture, Blocs fonctionnels / Building blocks
 - Moyens RH / Techno (process)
- Au niveau de chaque équipe
 - Collaboration sur ces thématiques
 - Les échanges entre labos du réseau μE / Autres
- AOB + Qui d'autre veut intervenir sur la μE pour ce réseau

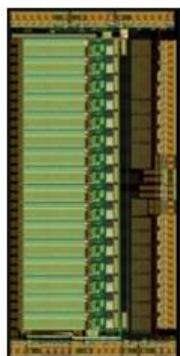




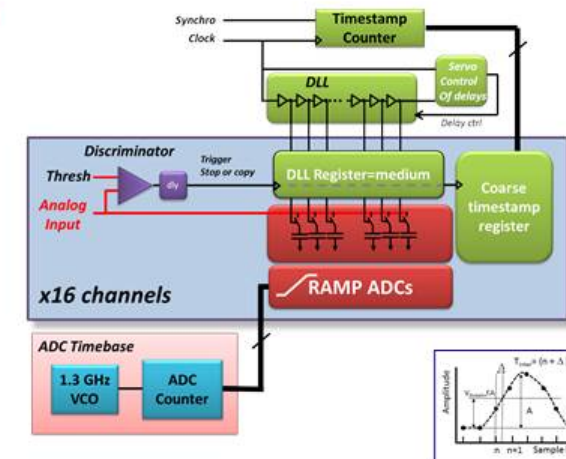
SAMPIC: a 16-Channel, 10-GS/s Waveform-TDC for picosecond time measurement

SAMPIC is a TDC directly working on analog signals !

- R&D project started in **January 2012**, founded by P2IO labex.
- **June 2013**: return from foundry of demonstrator ASIC (**SAMPIC0**) in AMS CMOS 0.18 μ m, 7mm²
⇒ validation of the WTDC principle, with fully integrated readout logics usable with detectors + test & acquisition board + acquisition software



- Works well with expected performance:
 - **7 to 11-bit Integrated Waveform Digitizer**
 - **1.6 GHz BW**
 - Sampling rate between **1.6 and 10 GS/s**
 - **100ns (7 bits) to 1.6 μ s (11 bits)** conversion time
 - **1 to 5 Gbits/s** output flow (LVDS)
 - Low power: **120 to 180 mW** => ~10mW/channel
 - **TDC time resolution is < 3.5ps rms!**



- **November 2014**: submission of **SAMPIC1**. Chip received in **April 2015** works well!
 - Few bug corrections ok: Reset, Region of Interest, Central Trigger...
 - New design of the analog sampling cell is effective: better linearity and dynamic range
- **Mid 2015**: submission of **SAMPIC2** with many new features : reduced dead-time, independent channel ADC's, TOT measurement...





SAMPIC: a 16-Channel, 10-GS/s Waveform-TDC for picosecond time measurement



Many applications...

- Bancs de test et tests sous faisceau de caractérisation de détecteurs ultra-rapides (diamants, MCPPMTs, Ultra Fast Silicon Detectors, SiPMs de course ...)
- Sous-détecteur TOTEM de CMS (*TOTal Elastic and diffractive cross section Measurement*) à ~200m de part et d'autre du grand détecteur pour voir les protons diffractés à petit angle et localiser les vertex → très grande précision requise < 5 ps rms pour le TDC
→ cartes en cours de réalisation
- ATLAS AFP (*Atlas Forward Proton*) : pareil que TOTEM
- Différents projets de TOF-PETs (NDAs en cours de signature...)
- Futur détecteur SHIP au CERN (fast timing detector pour trier les particules via leur temps de vol) et calorimètre en version double gain
- Futur détecteur CHIPS aux USA (manips Neutrinos, détecteur immergé dans l'eau)



- **Point sur le circuit:**
 - **Prototype 64 voies (quasi) final envoyé en fonderie le 2 juin,**
 - **Le cahier des charges a beaucoup évolué au cours du projet**
 - **Production prévue pour l'automne 2016**
 - **Ce circuit sera monté sur le SciFi de LHCb**

Avis personnel: J'ai l'impression que les cahiers des charges sont de plus en plus flous et ont tendance à beaucoup changer/évoluer au cours de la vie d'un projet. C'est un problème car c'est assez incompatible avec la réduction du nombre de fonderie sur un projet.

- **Evolution du circuit/savoir faire accumulé:**
 - **Feriez vous les même choix : Non.**
 - **On nous a fortement conseillé de passer d'IBM à TSMC ce qui nous a fait perdre presque un an alors que la 130nm d'IBM tourne toujours.**
 - **Pas d'évolution prévue pour le moment, quelques pistes pour adapter le circuit à d'autre projet mais il est un peu tôt pour en parler (pas évident au vu du nbre de labo impliqué)**

- **Au niveau de l'équipe:**
 - **Excellente collaboration entre 4 laboratoires de différents pays.**
 - **Très bénéfique pour notre visibilité au CERN.**
 - **Nombreux savoir faire accumulé/partagé tant au niveau technique que de la gestion de projet.**

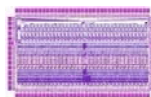
Avis personnel:

- Avec des outils tel que SoS (fortement poussé par le CERN), il devient totalement transparent de travailler sur un même circuit avec des designers physiquement éloignés. Nos moyens n'allant pas en augmentant, pour moi, notre salut passera par là.
- Il est toujours surprenant de constater qu'il est plus facile de travailler avec des laboratoires étrangers qu'avec des laboratoires de notre institut...

CHIPS for MAPMT

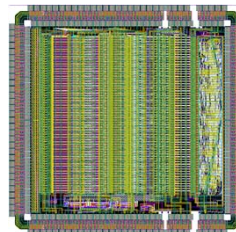
OPERA_ROC (2001)

32 Channels –
AMS BiCMOS 0.8 µm
3000 chips in 2002
OPERA Target
tracker readout
in Gran Sasso



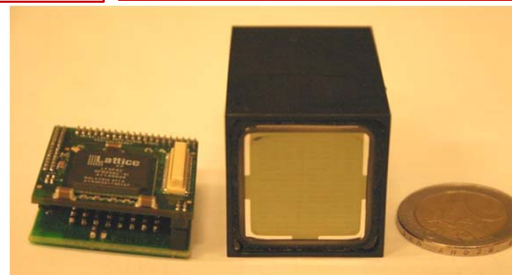
MAROC1 (2004)

Proto 64 channels
AMS SiGe 0.35 µm
(12 mm², Pw=5
mW/ch)



MAROC2 (2006)

1000 chips produced
for ATLAS
luminometer



MAROC3 (2010)

Lower power dissipation
Wilkinson ADC added
1000 chips produced
Double-Chooz,
Menphyno, Juno,
medical imaging
(Valencia, ISS Roma)...

SPACIROC1 (2010)

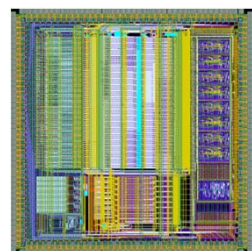
64 channels for spatial use.
Front End similar to MAROC
Photo counting @ 50MHz
Digital part :Digitization,memorization
Power consumption < 1 mW/ch

AMS SiGe 0.35 µm 16mm²
1000 chips for EUSO Balloon (2014
flight) and TA

Collab APC, LAL, IRAP

SPACIROC2 (2011)

Proto for improvement
Phd work



SPACIROC3 (2014)

Photo counting @ 100 MHz
Innovative chip/detector
Défi instru. CNRS
Small production (mini euso)

CHIPS for PMT

PARISROC1 (2008)

16 independent channels.
 Auto triggered
 Charge (10 bits) and time measurement (1ns)
 AMS SiGe 0.35 μm 12mm²
 Proto for PMm2 R&D (ANR)
 Collab. LAL, LAPP, IPNO

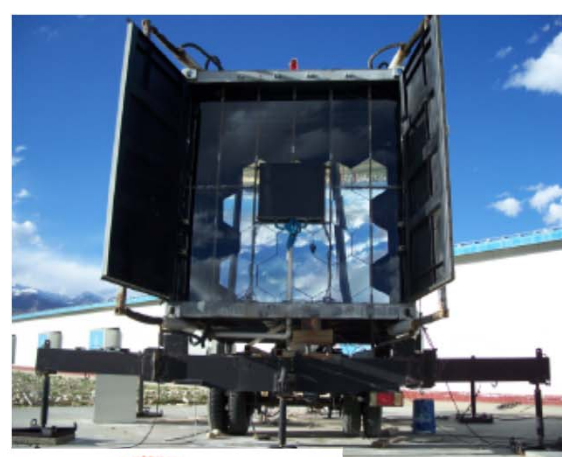
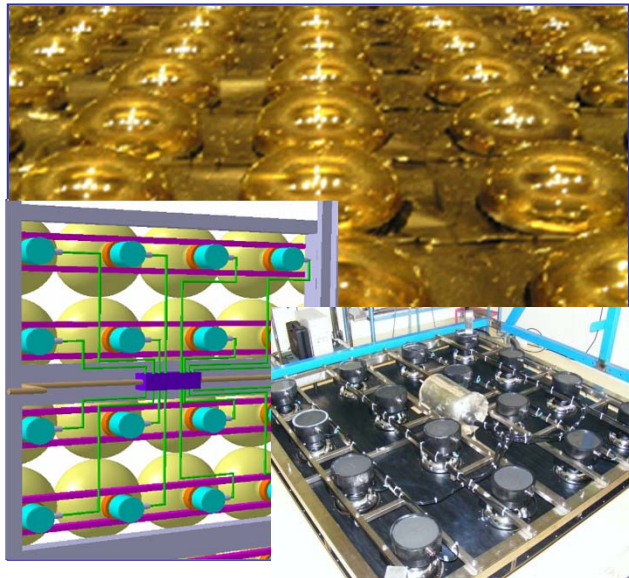
PARISROC2 (2009)

V1 improvment- Phd work
 Small production for water cherenkov experiments.
 LHAASO (IHEP/IPNO) and LAGUNA-WA105 (APC)

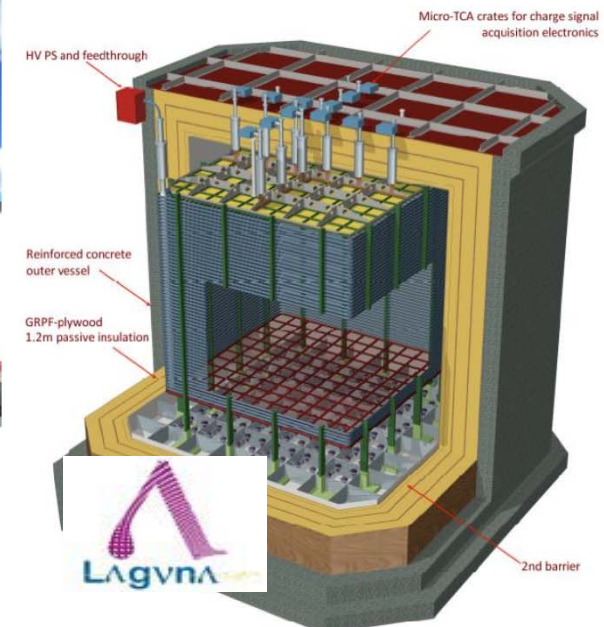
CATIROC (2015)

Parisroc evolution with new time measurement (100ps) and new charge measurement.

600 chips produced for LHAASO, JUNO



LHAASO
The Large High Altitude Air Shower Observatory

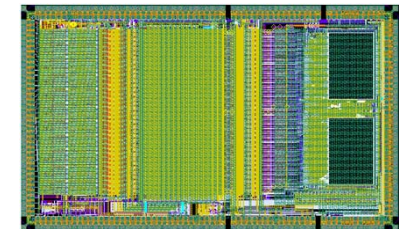


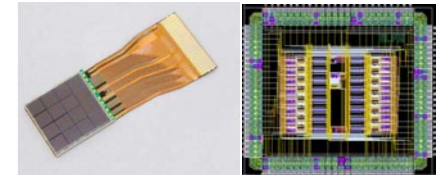


Chips for SiPM from SPIROC to TRIROC



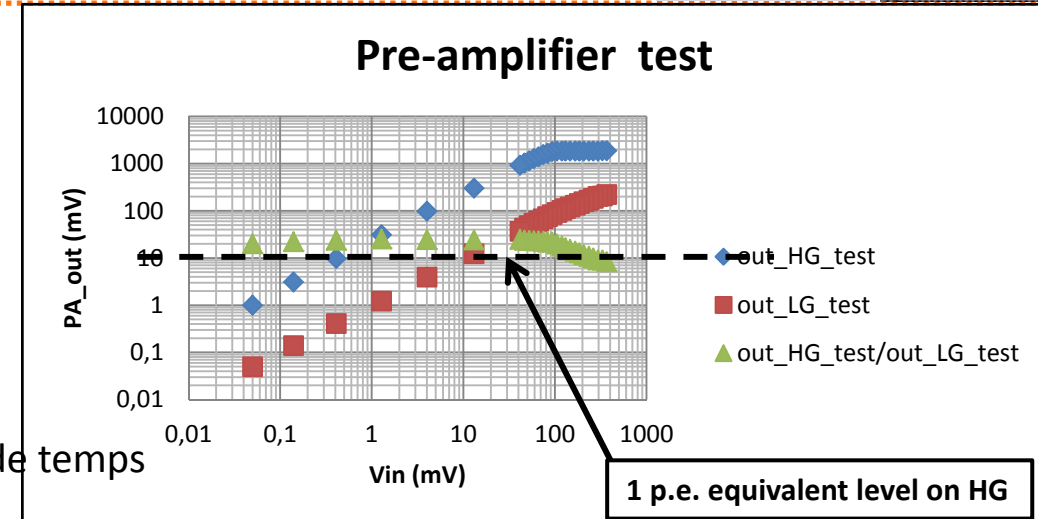
- 2005 : **FLC_SiPM** designed and produced for the ILC AHCAL (1 cubic meter, 38 layers, 2cm steel plates, 8000 tiles with SiPM) - 36 channels – 300 chips in AMS CMOS 0.8 μm
 - 1st ASIC to readout SiPM
- **SPIROC** developed since 2007 for CALICE AHCAL EUDET techno. proto. and AIDA phys. prot.
several versions - 36 channels - AMS SiGe 0.35 μm – 32 mm² – Coll. DESY, KEK
 - Autotrigger 1/3 MIP- Digitize time to 1 ns
 - Digitize charge on 15 bits - 16-depth analog memory
 - Input 8bit DAC - Power pulse to 25 $\mu\text{W}/\text{ch}$
- **Variants of SPIROC:** **EASIROC** designed in September 2009, **CITIROC** in 2013
“light” analog version of SPIROC for SiPM users (without ILC specific digital core)
- **Main applications using SPIROC/EASIROC/CITIROC chips for SiPM readout**
 - Astrophysics: PEBS experiment (Aachen University), CTA
 - Medical imaging (Roma, Pisa, INMC Orsay, Valencia, etc.)
 - Nuclear physics: E40 experiment (KEK)
 - Volcanology: MuRay muon radiography of geological structures (INFN Napoli)
- **Dedicated chip for fast timing and high timing resolution applications**
 - **PETIROC** (November 2013)
 - **TRIROC** (March 2014) “FP7” project





- Point sur le cahier des charges :

- Dynamique OK
- Contrôle gain OK
- Contrôle « Overvoltage » OK
- Préampli un peu lent
- Pas de sorties différentielles ... faute de temps



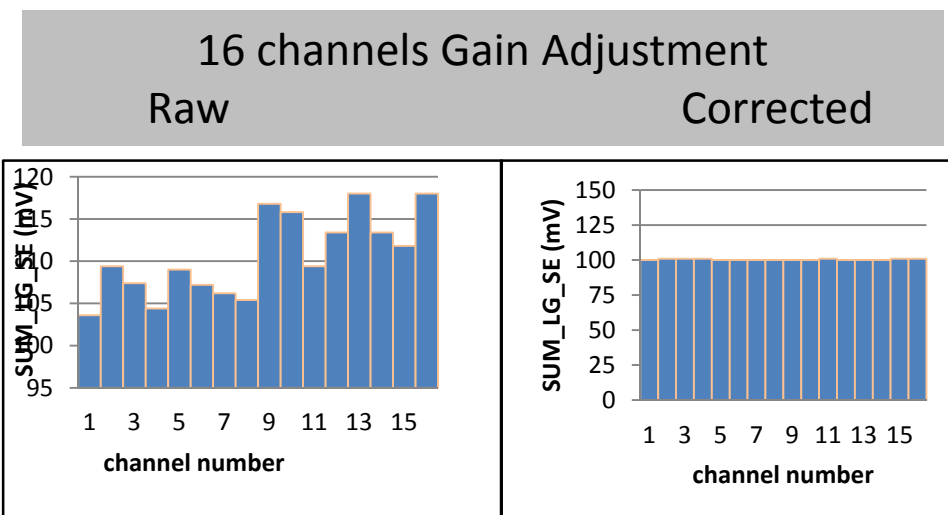
- Evolution

- Architecture validée
- Nouvelle version corrigée / améliorée
- Renforcement de l'équipe obligatoire
(fin de la thèse de Fatima Mehrez)
- Soutien de CTA ?

- Equipes

- Collaboration avec INFN Padova
- Aide importante des collègues de l'IPNL sur les outils pour la finalisation du chip

Merci Edouard!





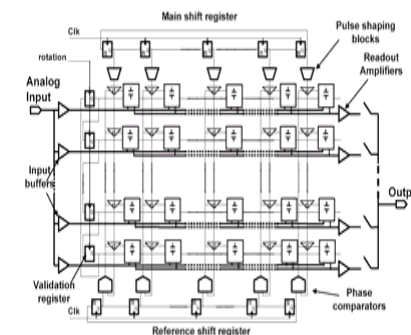
MAJ

Medium Size Telescope NectarCAM



NECTAr chips

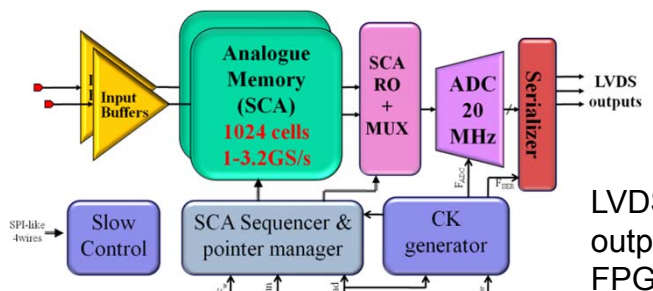
Switched Analog Memories



Principle of the matrix sampling structure

- *0.5Gs/s-3GS/s analog memory (SCA) + (12bit/ 20 MHz ADC).*
 - *2 fully differential channels (1024 cell memory each):*
 - *2 photodetector channels with “mono gain”.*
 - *1 photodetector channel with 2 gains.*
- *Usable as L1 buffer with programmable latency (ROI readout)*
- *Target: Performances = those of SAM (HESS2) with less power (was 300mW)*

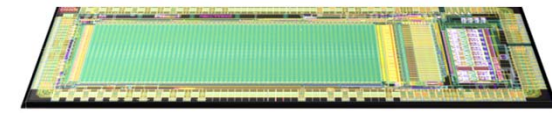
ADC 20 MHz
Pipeline 12 bits
Fatah Rarbi
Daniel Dzahini



Global view of the Nectar0 chip

LVDS
outputs to
FPGA
2x 120 MHZ
serial link.

Realisation : Eric Delagnes



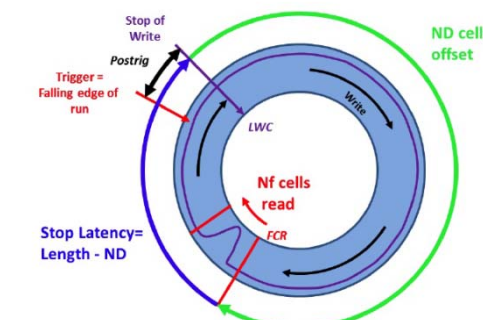
CMOS 0,35 μm Nectar Layout

Production phase :

> 60 000 chips

Yield : 80 %

Test production



Principle of operation as circular buffer

Gaseous Detectors Network

Drift Chambers



Drift chamber - SHARAQ spectrometer - Japan

Multi Wire Proportional Chambers



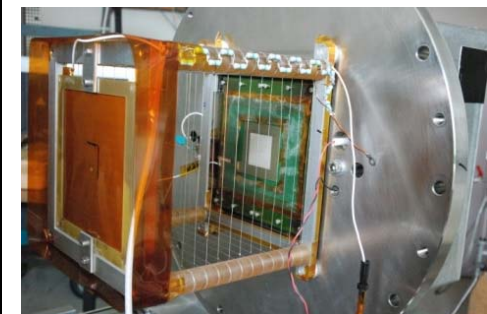
MWPC 1m²
ALICE-Muon Arm - CERN

Micro Pattern Gaseous Detectors
- Micromegas or GEM -



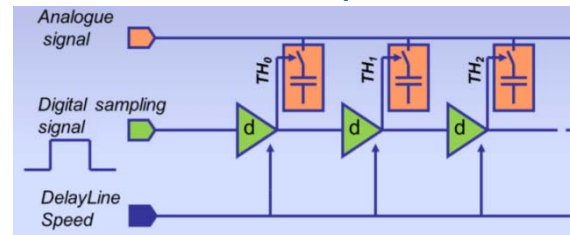
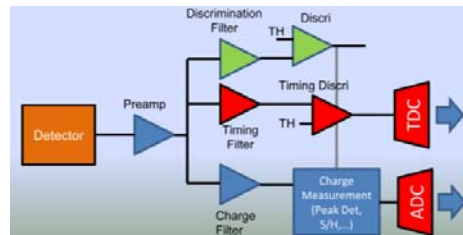
Micromegas
SDHCAL- ILC

Ionizing Chambers
TPC (IO + MPGD or MWPC)



Micro TPC + Micromegas for
MIMAC @ LSM Modane

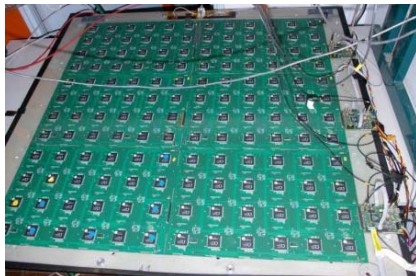
- **FEE for Gaseous detectors is similar to FEE for photo-detectors**
 - Shapers and Peak Detectors & Waveform Samplers



- With additional constraints such as material and power budgets

Extended FEE for Gaseous Detectors

HARDROC: GRPC DHCAL - CALICE



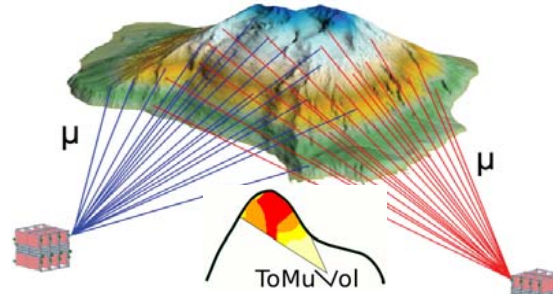
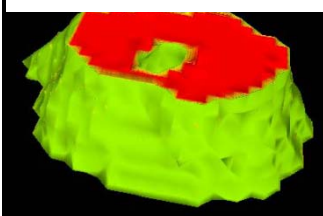
*Embedded FEE in scalable
GRPC detector layer*

 CALICE
Calorimeter for ILC
40 layers
400 000 Channels



TOMUVOL: Volcano Tomography with Muons

A DHCAL Spinoff



- 64 ch, 3 discri/ch
 - 3 encoded charge values
- Event memory
- Power pulsing
- 2010: 10 000 chips



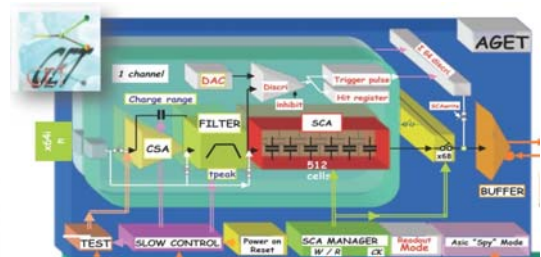
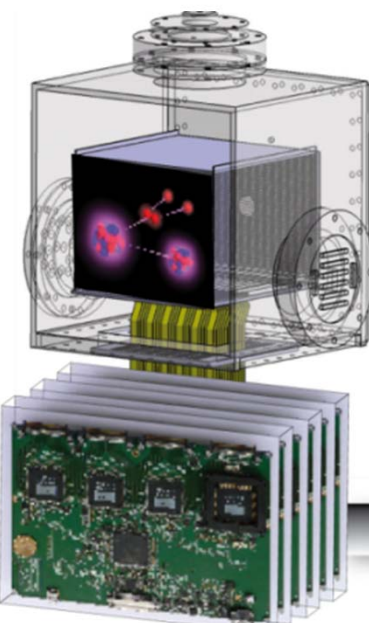
26 mm², SiGe 0.35 μm

AGET for ACTAR TPC R&D

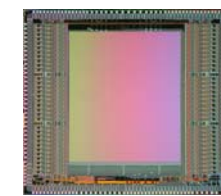


- To Study exotic nuclear structures @SPIRAL2
- AGET for the 2048 channels of the TPC
 - Variant of AFTER for μmegas @ T2K (6000 chips)

Active Target TPC



AGET 0.35 μm CMOS, 65 mm²,
2010



64-ch, Pos / Neg polarity
4 Ranges : 120 fC; 240 fC; 1 pC; 10 pC
16 Peaking Time Values (50ns to 1μs)
Fsampling: 1-100MHz; Fread: 25MHz
Auto trig: discri/ch + DACthreshold
Ch RO: All, Hit, Specific channels
SCA cells readout: 128/256/512

256 channels AsAd board

- 4 x AGET
- 12-bits, 25 MHz digitizer
- AGET steering,

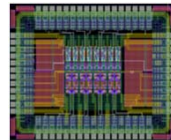
test, calibration

Designs for specific configurations

Trigger upgrade of Dimuon Spectrometer of ALICE

- FEERIC dedicated to new RPC in avalanche mode (aging improvement)
- To replace ADULT chips for current RPC in streamer mode
- To provide calibrated pulses to trigger logic
- >3000 chips to produce, test, install, 2015-18

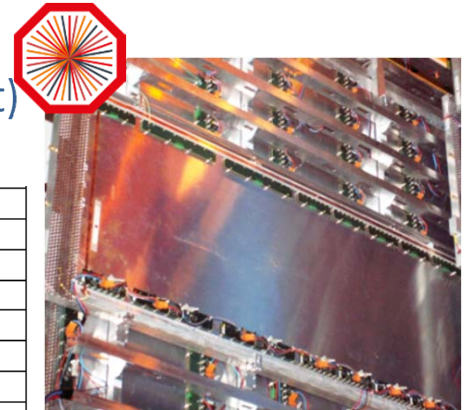
FEERIC
 4mm²
 0.35µm
 CMOS



Test Board

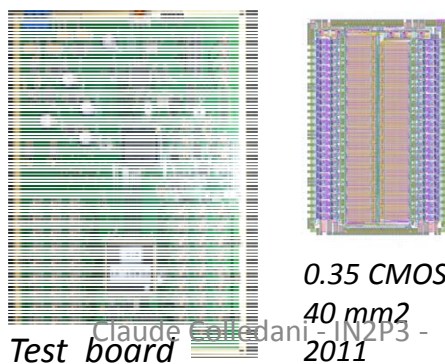


Number of ch.	8
Input polarity	±
Dynamic range	Q=20 fC-3 pC
Input noise (rms)	< 4fC
Power cons.	< 100mW/ch
Power supply	3 V
One-shot	yes(100ns)
Time resolution (rms)	< 1 ns
Time walk	< 2 ns
Output format	LVDS, 23 ± 2 ns



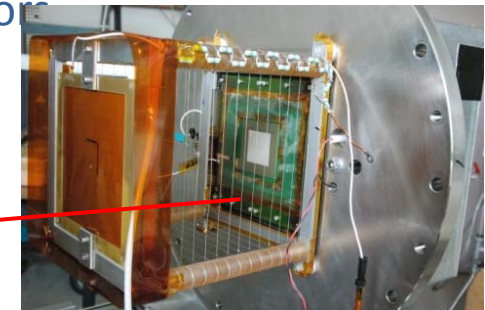
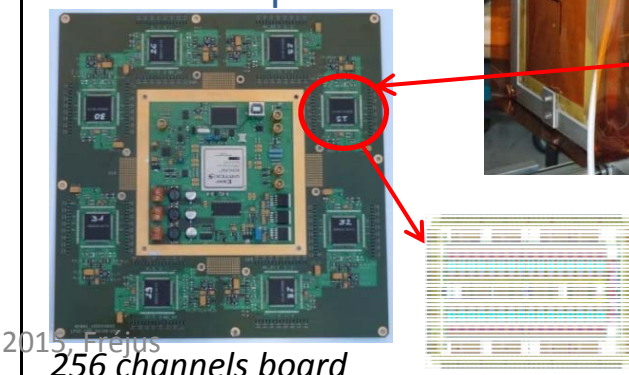
TDC for SNEMO @ LSM

- 54 ch. TDC, 3.6 ns resolution
- Configurable Inputs - gain & discri. threshold - for anodic and cathodic signals
- 150 samples



Micromegas TPC, MIMAC @ LSM

- 64 ch., Coincidences detect. + TOT measures
- 50 MHz discriminators
- 400 MHz serializer
- ~100 samples



MAJ Gas NET

- Gisèle - Olivier - Laurent - Sébastien - LPSC -

- Point sur les circuits mentionnés
 - Bilan de réalisation du cahier des charges
 - Bilan de Production, de Mise en service (Durée de vie / Fiabilité)
 - Impact du circuit dans la communauté Nat/Internationale
- Evolution du circuit / du savoir-faire accumulé
 - Question: Aujourd'hui feriez-vous les mêmes choix?
 - Contraintes pour Evolution et **Breakthrough**
 - Architecture, Blocs fonctionnels / Building blocks
 - Moyens RH / Techno (process)
- Au niveau de chaque équipe
 - Collaboration sur ces thématiques
 - Les échanges entre labos du réseau μE / Autres
- AOB + Qui d'autre veut intervenir sur la μE pour ce réseau



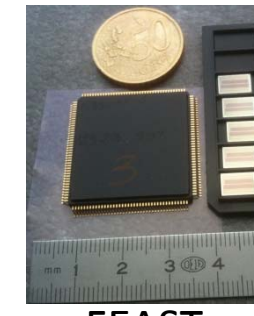


Status FEAST / SuperNEMO



■ SuperNEMO

- ✓ Physique du neutrino (Etude de la double désintégration β sans neutrino)
- ✓ Démonstrateur SuperNEMO
 - Construction 2015-2016 au LSM
 - ≈2000 voies pour le Tracker (150 ASICs)



FEAST



FEAST Production

■ FEAST

- ✓ Techno: AMS 0,35 μ m CMOS
- ✓ ASIC pour le Tracker
- ✓ ASIC codeur de temps avec mise en forme analogique du signal à traiter
- ✓ 54 voies indépendantes
- ✓ 150 ASICs testés, en cours de câblage sur les 65 cartes Tracker (FEB)

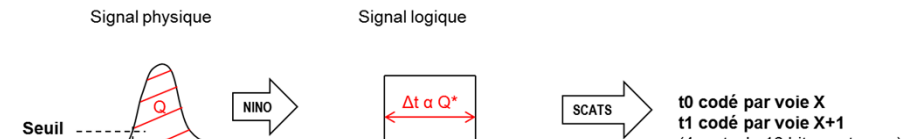
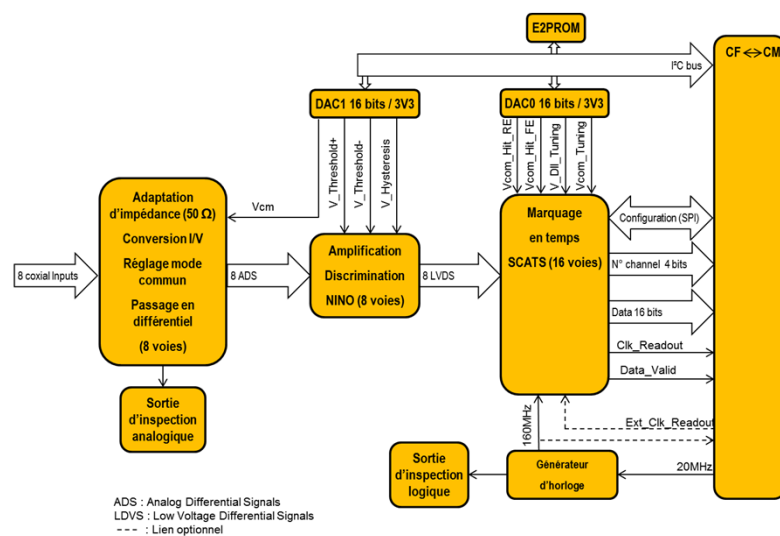
■ Front-End Board Tracker (FEB)

- ✓ Prise en charge par Université de Manchester
- ✓ Ecriture du firmware par Manchester et LAL
- ✓ dans les 2 ans à venir: Aide au débogage et à la mise en fonctionnement des cartes FEB, Participation à la mise en service du Tracker



Carte ETC (Eight Time Channels) intégrant SCATS

- Localisation spatiale des particules avec détecteur diamant segmenté double face
- Système d'acquisition FASTER
- Caractéristiques carte ETC :
 - 8 voies de mesures de temps indépendantes
 - Seuil de déclenchement réglable : 10 fC à 100 fC
 - Résolution temporelle espérée ≈ 70 ps rms (sans prise en compte du walk)
 - Dynamique de comptage sélectionnable jusqu'à 20 jours (48 bits @ 160MHz)
 - Temps mort individuel d'une voie ≈ 50 ns
- Status :
 - Firmware en cours d'écriture et de test



ETC



- **Point sur le circuit:**
 - Les performances mesurées de la version 3 ont été **validées**. FEERIC a fait l'objet d'une **revue au Cern** en mars dernier.
 - Une chambre **RPC complète de l'expérience Alice** au LHC a été équipée avec le nouvel ASIC; les performances obtenues dans le prochains mois (bruit → niveau mini. des seuils → HT de fonctionnement → durée de vie du détecteur) donneront ou non le "feu vert pour la production finale (≈ 4000 chips) fin 2015 ou début 2016
- **Evolution du circuit/savoir faire accumulé:**
 - Feriez vous les mêmes choix : **oui, sans doute ...**
 - Il fallait faire mieux (amplification), plus rapidement (2 ans) et avec moins de ressources par rapport à la 1^{ère} version du circuit(ADualT).
 - Cela a été possible grâce à la fiabilité de la techno (AMS), le **savoir-faire** acquis et une architecture conventionnelle.
 - **La modélisation aux interfaces (RPC, strip, PCB, ASIC) a été prise en compte (trop) tardivement.**
- **Collaborations, échanges**
 - Au début du projet, échanges avec les collègues de Bari (CMS) qui nous ont prêtés des circuits pour test sur RPC.
 - Pas d'autres collaborations nécessaire ensuite.

- **Point sur le circuit (voir le poster):**
 - R&D débuté en 2010 sur la techno IBM.
 - Prototype final disponible pour les tests sur le démonstrateur au Cern cet automne.
- **Evolution du circuit/savoir faire accumulé:**
 - Feriez vous les mêmes choix : oui, sans doute
 - ASIC adapté à la grande gamme dynamique requise
 - Sortie des données numérisées → simplicité et fiabilité
 - Changement de nœud techno. ($350 \rightarrow 130$): gain d'expérience
 - Ce projet a profité du R&D ILC/Calice (ADC)
- **Collaborations, échanges:**
 - Ce projet est né d'une collaboration informelle entre Chicago (JF Genat) et Clermont (J Lecoq). Chicago a abandonné le projet, nous nous sommes retrouvés seuls.
 - Echanges au sein du pôle MicRhAu.
 - Cern: support (léger) du Cern pour la prise en main de la techno IBM en 2010 et fourniture de PADs SLVS.



ASICS pour détecteurs gazeux à l'IRFU

Production et test des puces en AMS 0,35 µm AGET pour le système GET et DREAM pour CLAS 12 fin 2014.

Puces	Techno	Testées	Rendement	Utilisateurs
AGET	AMS 0,35	2500	83 %	20
DREAM	AMS 0,35	1250	72 %	CLAS 12

AGET: Environ 20 utilisateurs (satisfaits) du système Generic Electronics for Tpc (un utilisateur de plus la semaine dernière) pour 1300 puces AGET à travers le monde.

Financement GET par ANR. Collaboration nationale (CENBG,GANIL, IRFU) et internationale (EU,Japon). Projet aujourd'hui terminé.

⇒ On commence à réfléchir (on discute avec le CENBG) à la suite.

Evolution d'AGET: « spaceproofisation » pour le projet HARPO (LLR/IRFU)

DREAM: 30 cartes FEU (accueillant chacune 8 DREAM) déjà réalisées pour lire des micromegas.

Pour le spectromètre de CLAS 12 au J-Lab.

⇒ Installation partielle cet été pour un run de physique en 2016.

⇒ Installation complète en 2017.

Mais aussi pour tracker Asacusa au CERN.



HARDROC & MICROROC for CALICE SDHCAL readout



HARDROC1 : Hadronic Rpc Detector Read Out Chip

64 channels in AMS SiGe 350nm
semi digital readout with 3 thresholds
Auto trigger and full power pulsing
First proto in **2006**



HARDROC2 : 20mm2

auto trig on 10fc up to 20pc (3 thresholds)

Full power pulsing => $7 \mu\text{W}/\text{ch}$

Chip embedded in detector

6 000 chips produced in **2010** → EUDET milestone



*1 m³ RPC detector, 40 layers
Hardroc2: 370 000 channels*



@IPNL Lyon

HARDROC3 : 30mm2

Independant channels with zero suppress
I2C link (@IPNL) for slow control and triple voting
600 chips produced in **2015** → AIDA milestone



MICROROC : Micromegas Read Out Chip

Very similar to HARDROC except for the input preamp (collab. with LAPP Annecy) and shapers (100-150 ns)

Auto trigger on 1fC up to 500fC

Pulsed power: $10 \mu\text{W}/\text{ch}$ (0.5 % duty cycle)

HV sparks protection (@ LAPP)

First proto in 2010

800 chips in 2011 (for 1m2 and 4m2 in TB)

300 chips in 2015

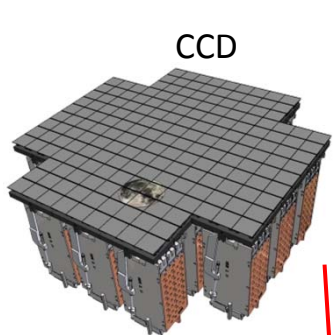
1m2 equipped with 144 MICROROC



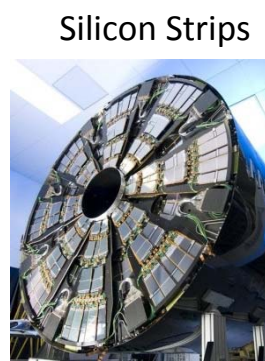
@LAPP Annecy

Collab. IPNL, LLR, LAPP

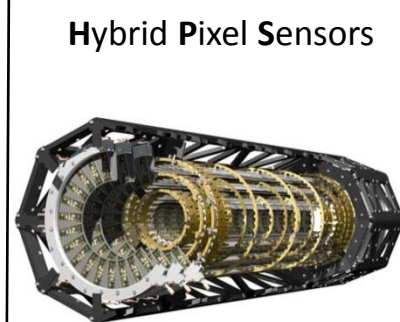
Semiconductors Network



CCD for LSST - Chile
Studies &
Production testing



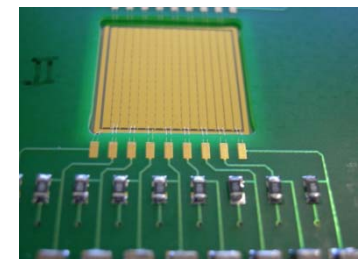
CMS Silicon Strips
TEC Petals:
Test & Construction



ATLAS Pixel Tracker
Test & Construction,
HPS design



STAR PXL Tracker
CPS design



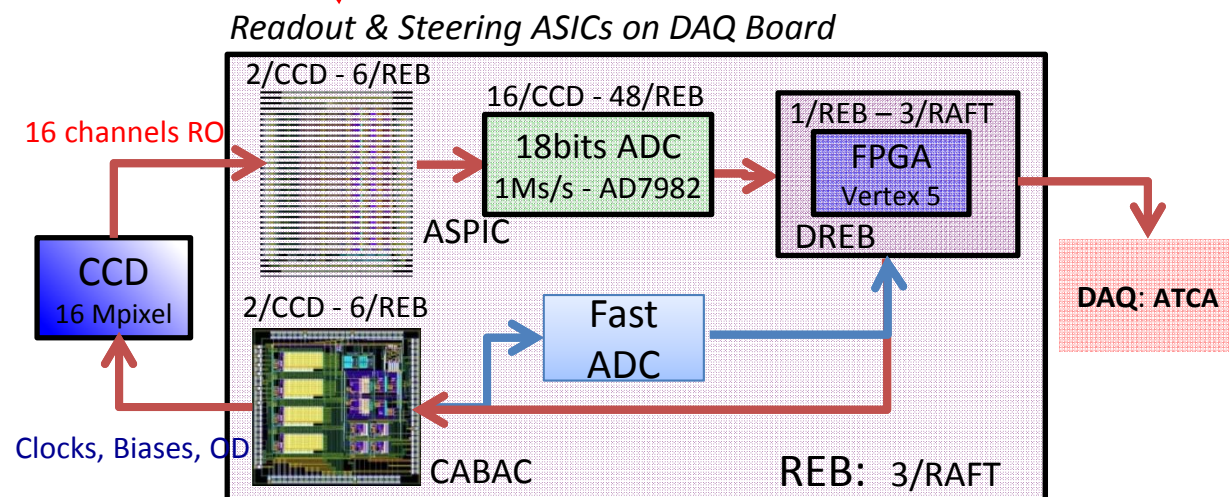
Diamond
Beam profiler
SPIRAL-France
Double-sided multi-strip
detector prototype



8 channel FE board
Time & Energy measurement



Faster: SYROCO_AMC board @ GANIL



Claude Colledani - IN2P3 -

Ecole µE 2015, Fréjus

ASIC for space applications at IRFU



IDeF-X family for Cd(Zn)Te or Si - Drift D, Double Sided D

- CSA+Shaper+peak detectors architecture
- Self triggered with low detection threshold (2 keV with CdTe)
- Very low noise for high energy resolution spectro-imaging systems
- Commercial low cost CMOS technology (AMS 0.35 & 0.18, XFAB 0.18)
- Hardened design for “space proof” missions

IDeF-X ECLAIRs

XRDPIX / IRAP



XRDPIX detection module for SVOM (CNES and CNSA mission)

IDeF-X HD



Caliste-SO

Micro gamma-camera for Solar Orbiter (ESA Mission)

IDeF-X BD



ASTRO-H (JAXA mission): detector characterization

STEIN module for Solar Orbiter

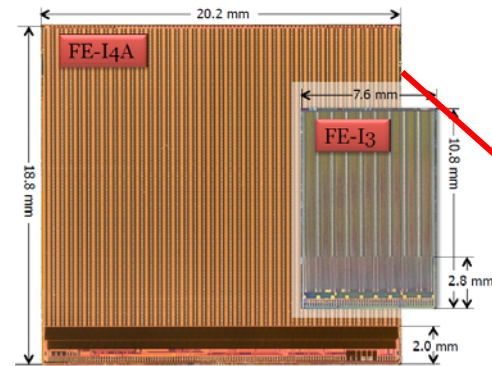
59

Chip	Det Type	Ch	Noise Floor (e-)	plnty	Dyn (ke-)	Power (mW/ch annel)	Output	Radiation
	ECLAIRs	Cd(Zn)Te	32	33	-	50	3,4	Mux diff SEL hardened + SEU flag
	BD	Cd(Zn)Te DSSD	32	33	both	50	3,4	Mux diff SEL hardened + SEU flag
	HD	Cd(Zn)Te	32	18	-	240	0.9	Mux diff SEL free + SEU flag
	LXE	Cd(Zn)Te DSSD LiqAr TPC	32	33	both	240	2.2	// single SEL free + SEU flag
	D ² R ₁	Cd(Zn)Te DSSD	256	25	both	60	0.3	Mux per Line SEL hardened + SEU flag

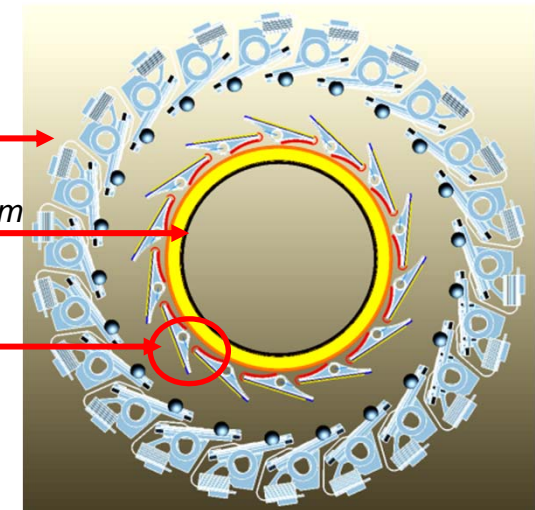
Hybrid Pixel Sensors

- **FE-I4 chip for Insertable B-Layer of ATLAS upgrade (Phase 0, 2014)**
 - IB-Layer: 16 ladders, 384 FE-I4 with associated pixels

Pixel size	50 x 250	μm^2
Matrix array	80 x 336	pixel
Chip size	20.2 x 19.0	mm^2
Active fraction	89	%
A - D currents	10 - 10	$\mu\text{A}/\text{pix}$
Analog voltage	1.4	V
Digital voltage	1.2	V
Process	130 nm	
Radiation Tol	> 200	Mrad



Existing
B-layer
Narrow beam
pipe 3,3 cm
Ladder:
FE-I4 +
Detector

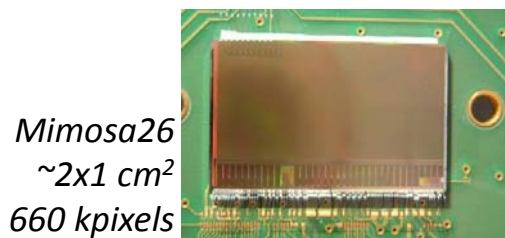


- **Building Blocks design**
 - Pixel level
 - Configuration memory
 - Common functionalities of FE-I4
 - Global configuration memory
 - 10-bit ADC Chip monitoring
 - Buffers for characterization
- **Radiation dose & SEU effects measurements**

- **ATLAS/CMS - Phase 2**
 - Member of RD 53 for Pixel RO chip
 - WG1, Radiation test / qualification
 - WG3, Simulation-Verification test bench
 - WG5, Analog Design (pixel ADC)
 - WG6, IP blocks

CMOS Pixel Sensors: A Long Term R&D

- **1999 R&D initiated with ILC as ultimate objective**
 - Developing CPS with staged performances
 - **2008: Mimosa26 for EUDET telescope**
 - Major proof of concept achieved (IN2P3/Irfu)

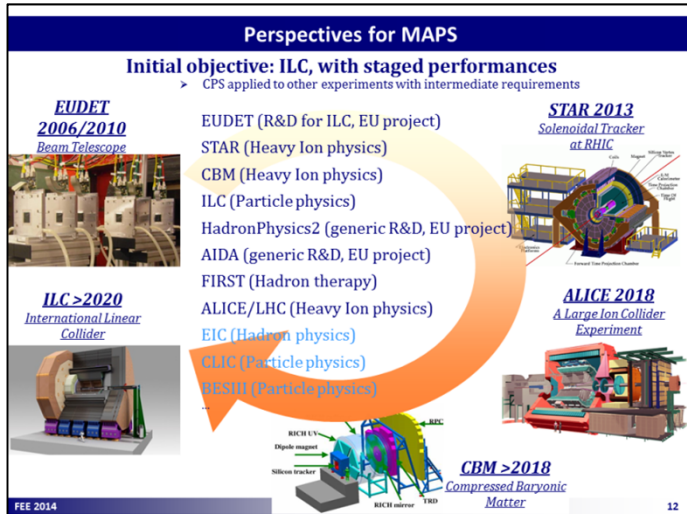


Mimosa26
~ $2 \times 1 \text{ cm}^2$
660 kpixels

*Eudet Telescope
6 reference planes of
Mimosa26, 50µm thin
 $\sigma_{s.p.}$ 2 µm on DUT*



- CPS for experiments with increasingly demanding requirements



Expt System	σ_T μs	σ_{Sp} μm	TID Rad	Fluence n_{eq}/cm^2	T _{op} °C
STAR-PXL	<~ 200	~ 5	150 k	3×10^{12}	30
ALICE-ITS	≤ 30	~ 5	700 k	10^{13}	30
CBM-MVD	10-30	~ 5	<~10 M	<~ 10^{14}	<<0
ILD-VXD	<~2	<~ 3	O(100) k	O(10^{11})	<~30

Synergies - Constraints

Claude Colledani - IN2P3 -

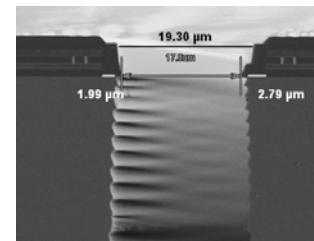
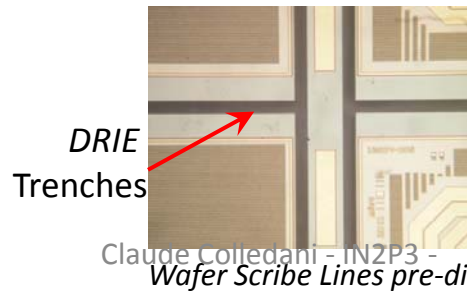
Ecole µE 2015, Fréjus

CPS for PXL detector @ STAR

- **Mimosa 28, ~4 cm², 1 Mpixels**
 - ~21 µm pitch, 50 µm thin, > 400 Ω.cm Hres Epi
 - $\sigma_{s.p.} \sim 3.5 \mu\text{m}$, Efficiency > 99%, $T_{Ro} = 185 \mu\text{s}$
 - Rad Tol= 150 krad, $3 \times 10^{12} \text{ n}_{\text{eq}} \cdot \text{cm}^{-2}$ @ +30°C

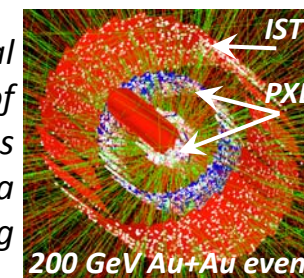
928 x 960 pixel array, pitch 20.7 µm
In pixel CDS + column discriminators
Zero suppression
FRead 160 MHz on 2 LVDS outputs
Sensor configuration via JTAG
~170 mW/cm ² @ 3.3V @ 35°C
Integration time 185.6 µs, $\sigma_{s.p.} \sim 3.5 \mu\text{m}$

- **Edgeless for improved sensor abuttal**
 - Wafers are pre-diced with DRIE
 - Sensors are released during wafer thinning

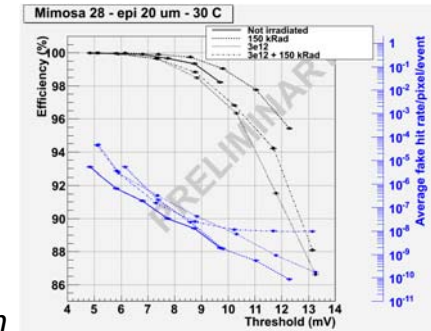


Ecole µE 2015, Paris

Typical event of 4 months of data taking



Mimosa 28, ~4 cm², 0.35 µm
2-well CIS, Hres epi layer



Detection efficiency & Fake rate

- **PXL installed in January 2014**

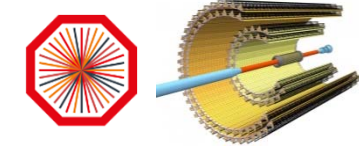


2 layers, radius: 2.8 & 8 cm, 40 ladders, 400 sensors, 0.15 m²

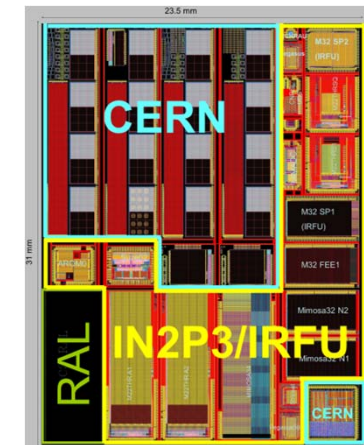


62

CPS for ALICE ITS upgrade



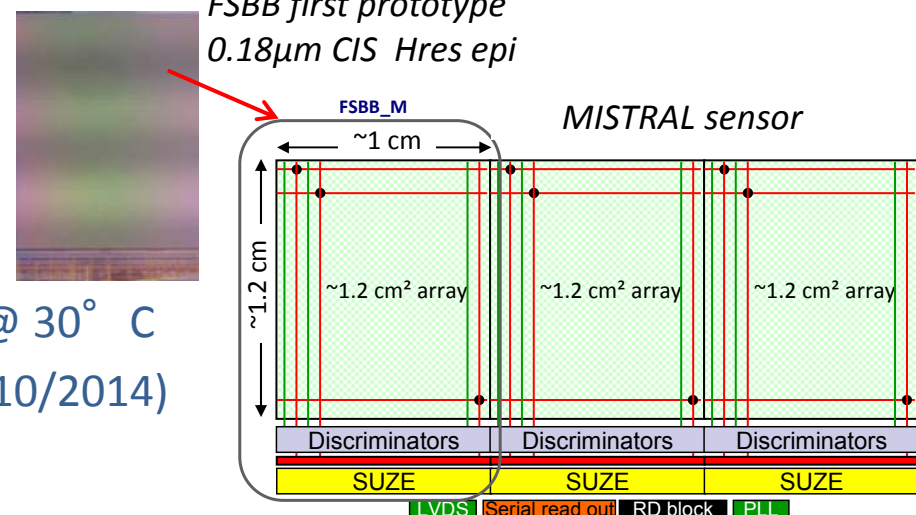
- **ITS upgrade: 10 m² of CPS to produce (2016)**
 - Towards a new state of the art (& challenge) based on the accumulated expertise on previous sensors
 - Common R&D with CERN on sensors developed in //
 - Synchronous Readout CPS (Mimosa 28 like)
 - Mature architecture → robust → MISTRAL -IN2P3 driven
 - Asynchronous Readout CPS
 - New & challenging, exploits process potential → ALPIDE - CERN driven



Q1 2013 run
4-well CIS 0.18 μm
3.1 x 2.3 cm^2 reticle

- **MISTRAL, based on 3 submatrices**

- Full Scale Building Block (05/2014)
 - 160 kpixels matrix
 - 22 x 33 μm pitch $\rightarrow \sigma_{\text{s.p.}} \sim 5 \mu\text{m}$
 - Readout Time = 40 μs
 - Noise: TN $\sim 0.87 \text{ mV}$, FPN $\sim 0.55 \text{ mV}$ @ 30° C
 - Efficiency >99.5% (To Validate @BT 10/2014)
- Address ALICE ITS requirements



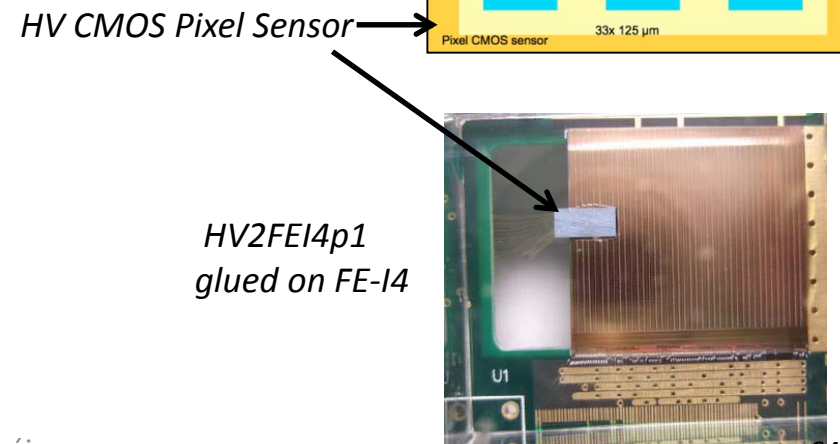
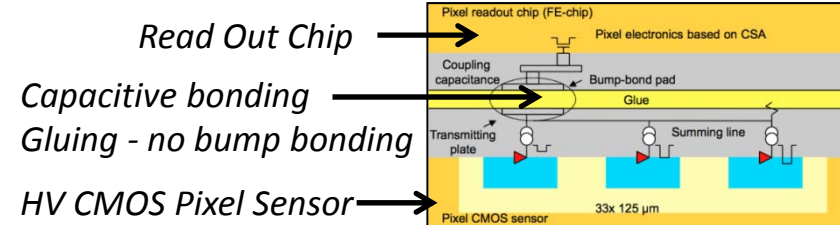
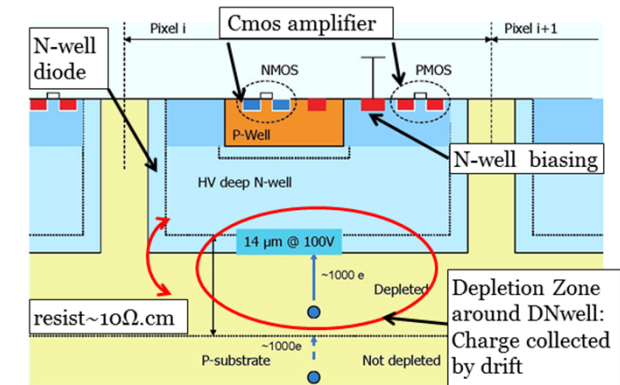
Hybrid R&D, RO chip + HV-CMOS sensor

- **Exploit Deep Nwell featured by industrial CMOS process**

- DNW Sensing diode polarized @ few tens Volts
 - To collect charges by drift only
 - To improve speed & Radiation hardness
- Embedded CMOS amplifier
 - Before interconnection to RO chip → Low noise

- **Expected performances**

- Rad Hard Sensor up to 1 Grad
 - Thin depletion zone ($10\mu\text{m}$), low bias voltage
- Small and fast pixels
 - $33 \times 125 \mu\text{m}$, (FEI-4: $50 \times 250 \mu\text{m}$)
- Low material budget
 - Thinned down
- Low cost
 - Standard process + cheap bonding

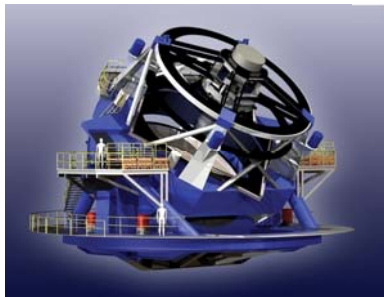


MAJ Semi NET

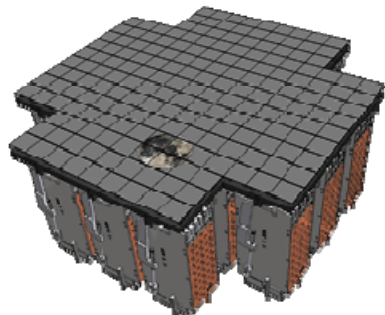
- Philippe - LPC Caen - Olivier - Christine - Patrick-

- Point sur les circuits mentionnés
 - Bilan de réalisation du cahier des charges
 - Bilan de Production, de Mise en service (Durée de vie / Fiabilité)
 - Impact du circuit dans la communauté Nat/Internationale
- Evolution du circuit / du savoir-faire accumulé
 - Question: Aujourd'hui feriez-vous les mêmes choix?
 - Contraintes pour Evolution et **Breakthrough**
 - Architecture, Blocs fonctionnels / Building blocks
 - Moyens RH / Techno (process)
- Au niveau de chaque équipe
 - Collaboration sur ces thématiques
 - Les échanges entre labos du réseau μE / Autres
- AOB + Qui d'autre veut intervenir sur la μE pour ce réseau





Large
Synoptic
Survey
Telescope -
Chile



Focal plane
array :
3.2-Gigapixel
Camera



ASPIC & CABAC (depuis 2007)

- Bilan
 - Cahiers des charges intégralement remplis
 - **Production et test de 1000 circuits en 2015 pour intégration finale mi-2016**
- Valorisation : projet de prématuration déposé au CNRS pour financer un « contrôleur-lecteur » de CCD ; en cours...
- Perspectives → **projet DAMIC** (Dark Matter in CCDs) a novel dark matter experiment
 - Accroître l'intégration (éléments passifs dédiés à la charge de l'étage de sortie du CCD, capacité de liaison...)
 - Envisager le changement de technologie
→ AMS 0.18 HV : obsolescence de la 0.35



CdTe pour applications spatiales

-1-Solar Orbiter

IDeF-X HD Production des spectro-imageurs CALISTE Solar Orbiter (100 à produire en tout) contenant ASIC HD. Une quarantaine produite aujourd'hui. Rendement moins bon que prévu.

-2- R&T

D²R₁ (ASIC matriciel 256 pixels en CMOS XFAB 0.18) malgré un ASIC très performant, toujours des problèmes d'hybridation au détecteur => pas de spectre digne de ce nom et plus de financement. L'existence de **D²R₂** est remise en question.

OWB-1

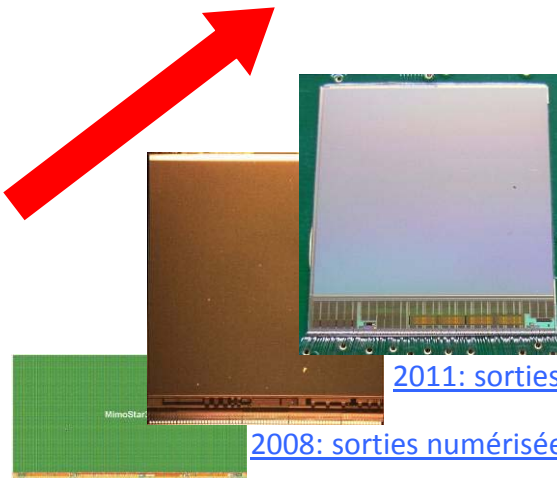
ADC (wilkinson + DLL) 32 voies pour applications spatiales:

AMS 0.35 durcie (latch-up+SEU) 13 bits, temps de codage de 2.5 µs (voir Poster F.Boujou) auto-calibration

Nombreuses applications potentielles mais rien d'engagé pour l'instant.



Trois générations de circuits de grandes tailles: MimoStar, Phase1, ULTIMATE-M28



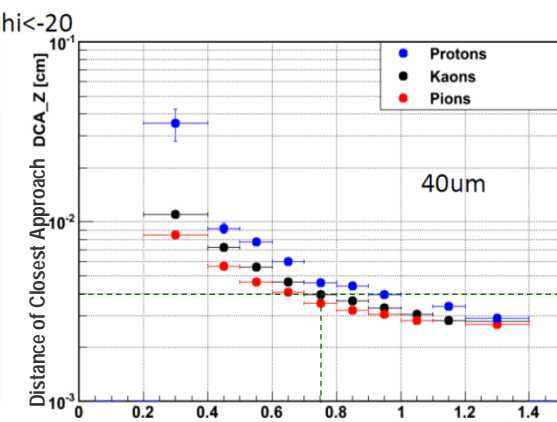
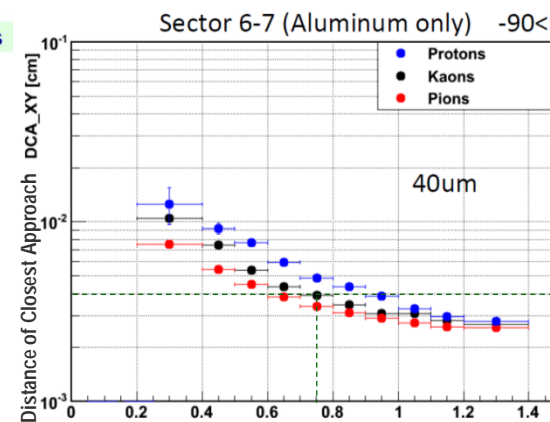
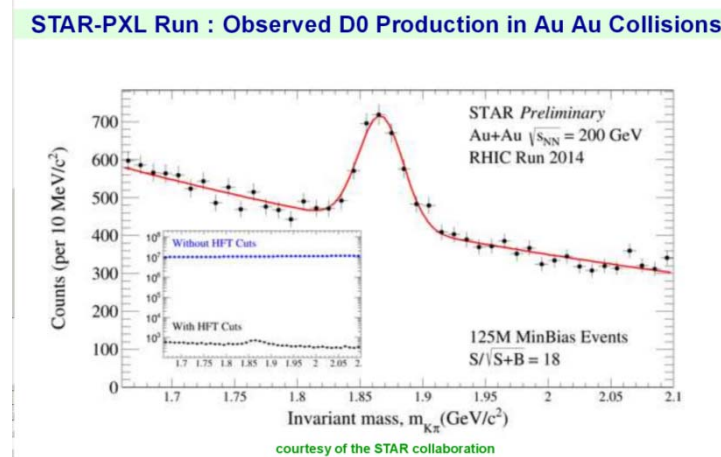
- ↳ Cahier des charges qui a évolué grâce à l'avancement technique
- ↳ Production de 100 wafers pour l'Ultimate
 - 25 restent à l'IPHC pour d'autres projets: (ex. BESIII)
- ↳ 3 PXL détecteurs fabriqués (0.15 m^2 chacun) par les collègues de STAR
 - 1^{er} détecteur de vertex existant basé sur CPS
 - 4 mois d'acquisition des données de physique de Mars à Juin 2014

2011: sorties numérisées, avec la suppression de zéros ($t_{\text{r.o.}} \sim 0.2 \text{ ms}$)

2008: sorties numérisées -collaboration Irfu-, sans la suppression de zéros ($t_{\text{r.o.}} \sim 1 \text{ ms}$)

2006: sorties analogiques ($t_{\text{r.o.}} \sim 4 \text{ ms}$)

- Résolution au point d'impact mesurée pour 700-800 MeV/c kaons:



➔ $\sigma_{\text{P.I.}} \sim 40 \mu\text{m}$ obtenus dans le 2 directions comme prévu!

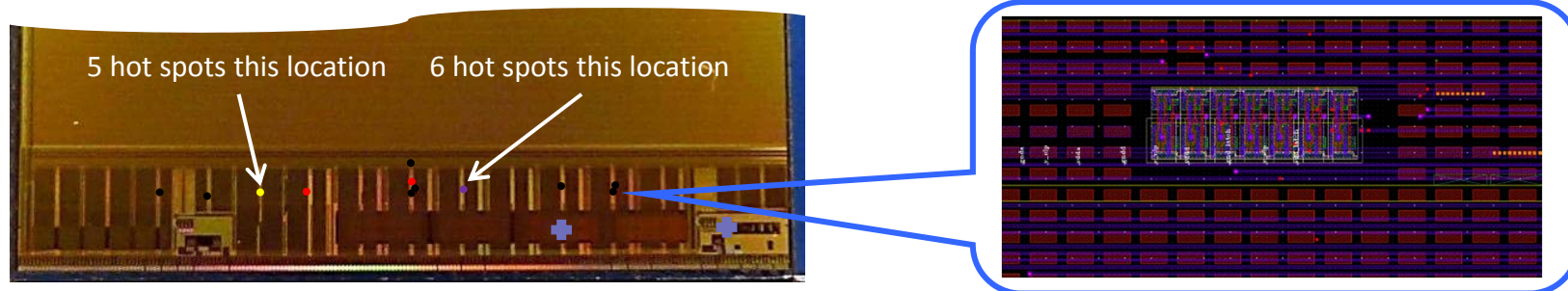
- Aboutissement sur une expérience de 10 ans de R&D

Problème sur soft "latch-up"? Pourtant testé avant sans avoir constaté le problème

- ↳ 1^{er} dommages observés dans le "Run" 15 GeV après un événement de perte de faisceau, qui se sont poursuivis durant la prise de données du "Run" 20 GeV
 - Augmentation du courant numérique
 - Principalement dans les échelles intérieures: 14% de la couche interne, 1% de la couche externe
- ↳ "Solution": Latch-up seuils abaissés à 120 mA (initialement 400 mA et commun pour 10 capteurs)
+ Cycle de l'alimentation numérique et du rechargement de la configuration

■ Refaire le test de "latch-up" sur les capteurs amincis et non amincis

- ↳ Effets atténués de "latch-up" sur les capteurs non amincis!!! ➔ Etape manquée dans les tests
- ↳ Hot spots: la plupart des points chauds sont alignés horizontalement ➔ clock tree: Buffer isolé

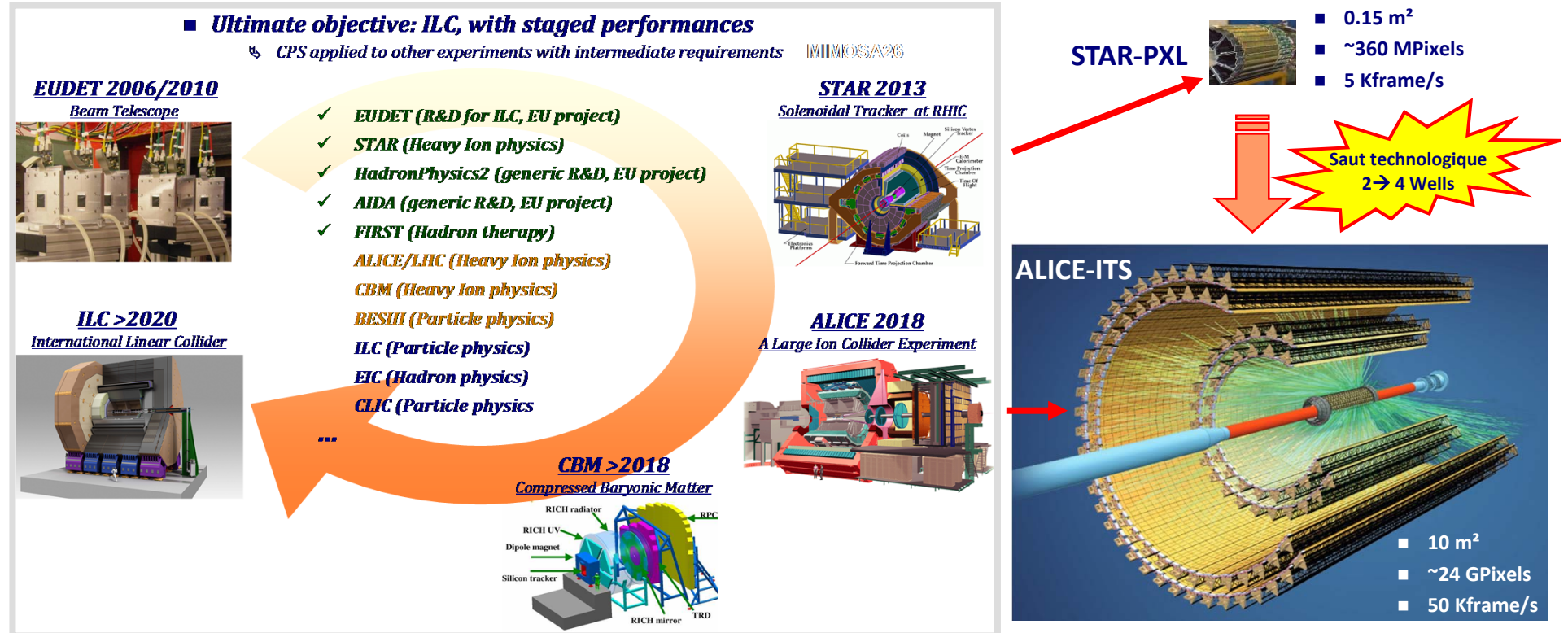


↳ Remarques et hypothèses:

- "Buffer" lui-même a des contacts au substrat suffisants, mais ...
- Il y a des POLY remplis à main, et la densité est relativement élevée ➔ comportements de ces POLY flottants après irradiation ?

↳ La recherche d'explications se poursuit

- Le développement d'ULTIMATE a bénéficié de la synergie entre les expériences



- Passage ITS-ALICE 2011 → Grâce aux connaissances accumulées sur la conception et la caractérisation de PXL-STAR → Les résultats des MIMOSA ont été à la base de la validation du TDR

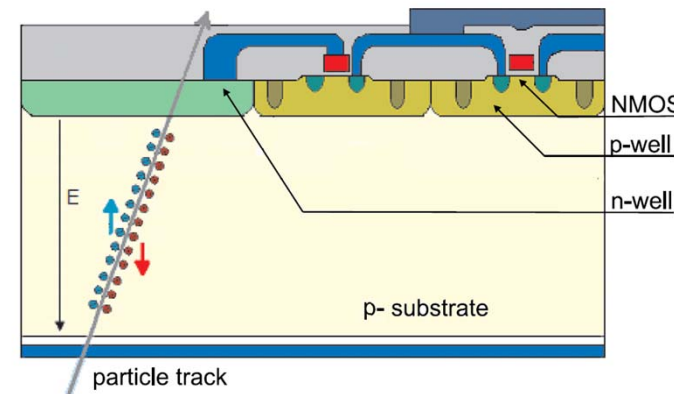
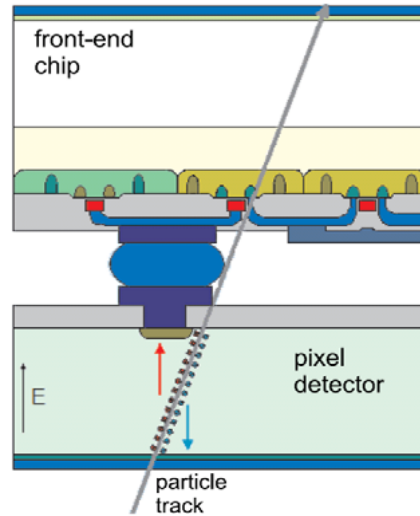
- ↳ Calendrier serré, 2 architectures développées en parallèle, 1 Classique, 1 Moderne ☺
- ↳ Pour IPHC: Q1/2013 Eng Run 3,5 cm² de démonstrateurs; Q2/2013 MPW 60 mm²; Q1/2014 Eng Run FSBB 7 cm²; Q2/2014 MWP 100 mm²; Q2/2015 MISTRAL Run Eng 8 cm²
- ↳ A partir Q2/2014 développements croisés
 - 2 ingénieurs IPHC en R&D pour les pixels ALPIDE et module de contrôle et transfert de données ALPIDE incorporé dans MISTRAL

La Querelle
des Anciens
et des Modernes
peinture d'un essai
de Marc Fumaroli



EspaceFrancais.com © classic

From Hybrid to Monolithic HVCmos pixel



Hybrid Pixel Detectors Properties:

fine pitch flip-chip assembly of:
 CMOS R/O chips (CSA + DSP per pixel)
 Si (planar or 3D) or Diamond detectors
 + high density electronics
 + moderate - good SNR
 - high material budget
 - high cost (chip + sensor + hybridization)

Depleted MAPS for HL-LHC needed:

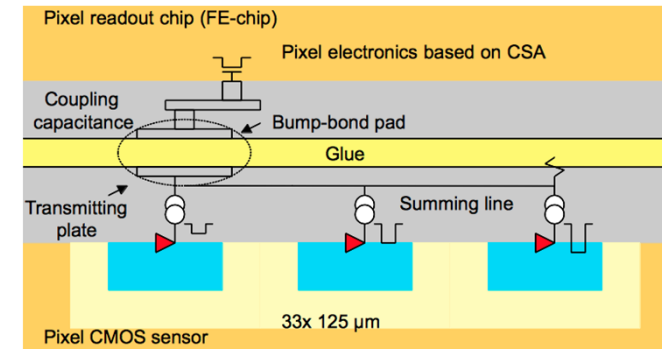
large depletion depth $d \sim (\rho V)^{1/2}$
 AND full CMOS
 AND low power
 AND low cost

Questions:

- Radiation hardness (sensor / transistors).
- Signal to Noise Ratio / Efficiency.

Why HVCmos pixels for HEP ?

- Commercial process in large 8 or 12 inch wafers and potentially much cheaper than customer HEP sensors.
- Potentially much cheaper bonding processes available.
(capacitive coupling gluing, oxide/Cu-Cu bonding)
- Smaller pitch due separation between CMOS sensor/analog tier and digital tier: sub-pixels in CMOS tier.
- Thin sensor ($15\text{-}100 \mu\text{m}$) reduce clusters at large η .
(improve cluster size, two tracks resolution, sensor radiation hardness).
- For initial prototypes, FE-I4 digital tier is available,
for final FE-RD53 will be suitable.
- Low occupancy layers (outer pixel, even strips) can be made in one tier with classical column or periphery readout architecture reducing the cost for large areas.



HVCMOS Demonstrator Working Group

- R&D started by Heidelberg-Berkley-Bonn-CERN-Geneva-Marseille since 2012.
- From June 2014 in the framework of ITK Pixel Module under chair of Norbert Wermes (Bonn) with many institutes :
Karlsruhe-Berkley-Bonn-CERN-Geneva-Marseille-Göttingen-Prague-IRFU-Glasgow-Oxford-Liverpool-INFN-Genova-Milan-SLAC-UCSC-.....
- Address the development of Demonstrator Pixel module at end of 2015.
- Goal of preparing CMOS pixel option in the ITK Pixel TDR in 2017.
- Two main technology are explored for creating depletion region:
HV (10-20 ohms.cm substrate and 30-90 V applied) or HR (0.1-3.0 Kohms. cm substrate) or both

Specification of CMOS Pixel (CPIX) Demonstrator

- Design Task Force Nov 2014
- Pixel module of 1-2 cm²
- Radiation tolerance more than 50 MRads TID and 10^{15} neq.cm⁻² NIEL
- Readout by the FE-I4 chip
- When possible also standalone readout
- Power less than 20 µA/pixel
- In-time efficiency more 95% after irradiation
- Bondable either by bumps or glue to FE-I4 with capacitive coupling
- Pin-out compatibility of demonstrators in different technologies for test by many groups

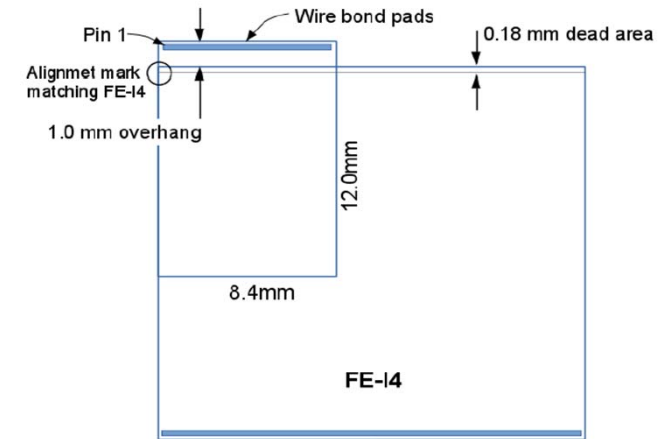


Fig. 1: Alignment of demonstrator to FE-I4 chip



MAJ

Planning for Demonstrator

- Aug-Nov 2014 Prototypes, test results, Task Force specifications and recommendations
- Feb-June 2015 design and submission in 2-3 technologies
- Sep-Oct 2015 Characterization in the Labs
- End 2015 Demonstration in test beams and irradiations

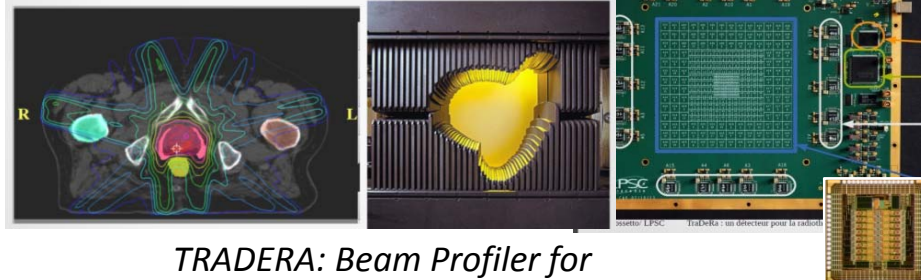
MAJ

Target Demonstrator submissions

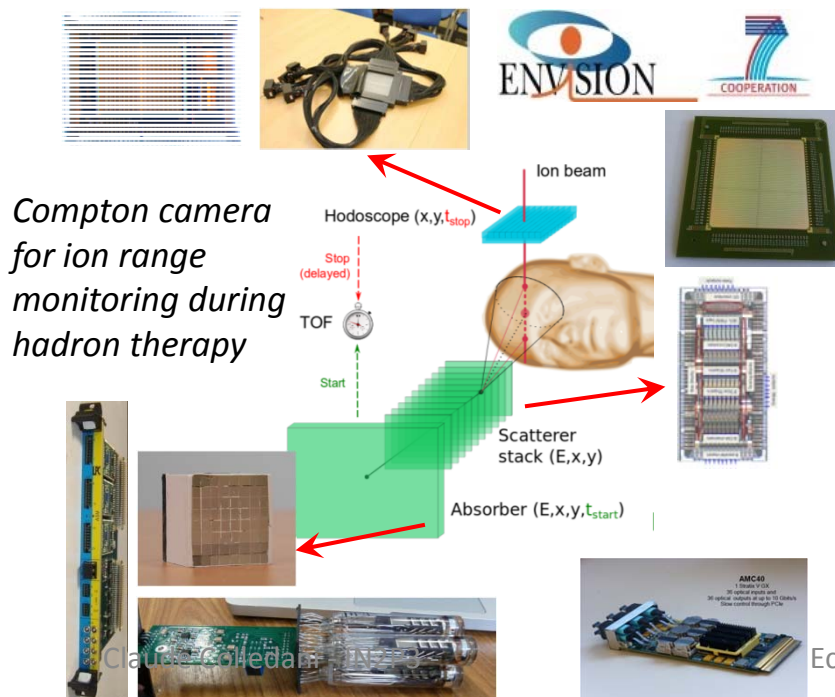
Technology	Prototype	Demo design	Reticule (Full/MLM)	Submission Goal
Fab B 350nm	KA, CPPM ,GVA,CERN Also strips	KA(Peric) DESY, SLAC/UCSC,...	Engineering run Full reticule	March 2015
FabA 180nm	KA, CPPM ,GVA,BN, CERN	KA(Peric) CPPM	Engineering run Full reticule	Fall 2015
FabH 130nm	CPPM	CPPM (Pangaud) IRFU, KA	Full reticule	Fall 2015 ?
Fab G 150nm	BN, CPPM ,KA	BN(Kruger) SLAC/LBL CPPM	MLM4->MLM2	June 2015
FabD SOI 180nm	BN, CERN	BN(Hemperek)	MLM4	August 2015

R&D for Societal Applications

Beam profiler



Deposited dose monitoring

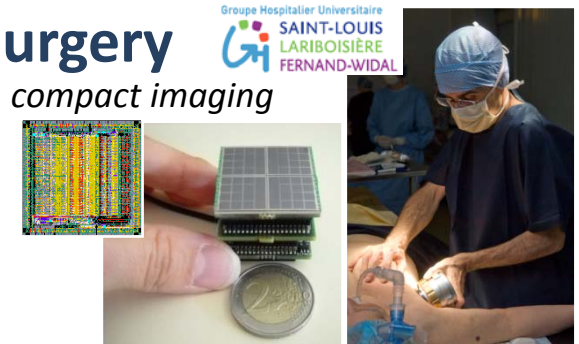


Radioguided surgery

MAGICS: Peroperative compact imaging gamma camera.

Sentinel lymph-node mapping protocol.

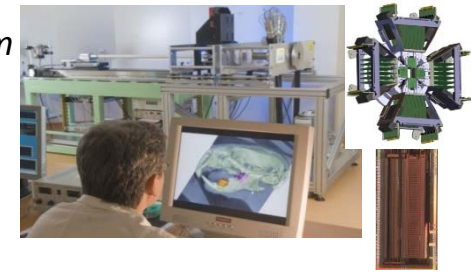
Groupe Hospitalier Universitaire
SAINT-LOUIS
 LARIBOISIÈRE
 FERNAND-WIDAL



Imaging

- CT & SPECT scanners

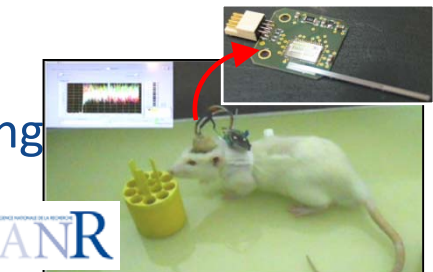
IMABIO: Multimodal platform for small animal imaging μ CT, μ SPECT, μ PET



- PET scanners

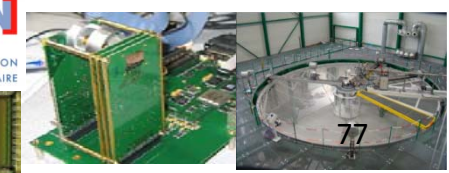


XEMIS1: Liquid Xenon Compton camera



- In vivo neuroimaging

PICASIC: Brain implantable β^+ radiosensitive probe



Dosimetry

IRSN

INSTITUT

DE RADIOPROTECTION
ET DE SÛRETÉ NUCLÉAIRE

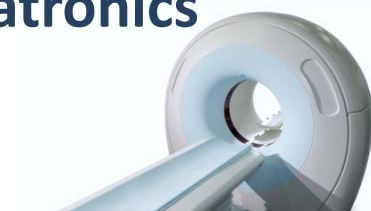
FASTPIXN: Neutron dosimetry for nuclear power plants survey

Technology transfer

**Developing X ray imaging systems
based on hybrid pixel detectors and
dedicated to biomedical, material science**



**French-Swiss Public Interest Group
Assisting Small-Medium size Enterprises to setup
collaborative projects for innovative mechatronics**



**Designing high-end analog & mixed
microelectronics for nuclear industry,
space industry, medical imaging**



Technology Transfer:

Not only positive feedback in terms of IP and royalties but also
for PhD, postdoc fellowships and grants (Local, France, Europe)

MAJ Societal App

- Dans l'assemblée ceux qui sont concernés -

- Point sur les circuits mentionnés
 - Bilan de réalisation du cahier des charges
 - Bilan de Production, de Mise en service (Durée de vie / Fiabilité)
 - Impact du circuit dans la communauté Nat/Internationale
- Evolution du circuit / du savoir-faire accumulé
 - Question: Aujourd'hui feriez-vous les mêmes choix?
 - Contraintes pour Evolution et **Breakthrough**
 - Architecture, Blocs fonctionnels / Building blocks
 - Moyens RH / Techno (process)
- Au niveau de chaque équipe
 - Collaboration sur ces thématiques
 - Les échanges entre labos du réseau μE / Autres
- AOB + Qui d'autre veut intervenir sur la μE pour ce réseau





ASIC for silicon scatterer of Compton Camera in hadrontherapy

ASIC specifications :

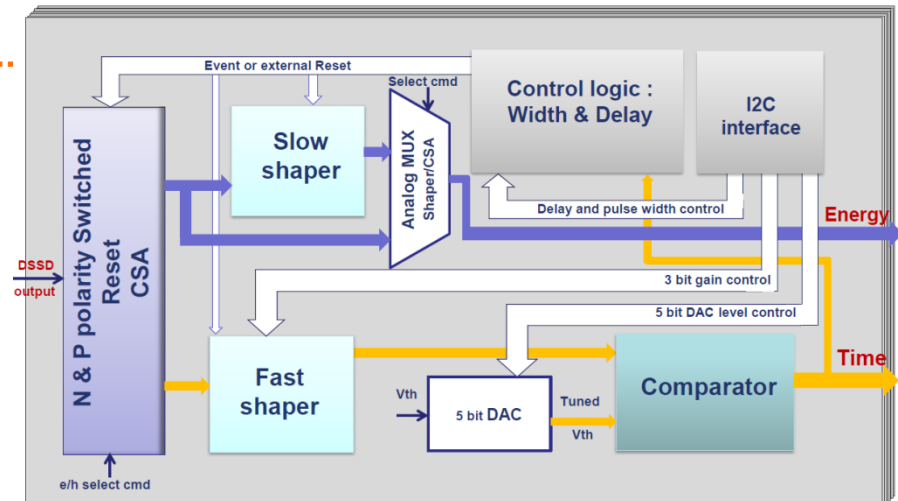
- a second (final) ASIC version was realized in CMOS 0.35 μm process of AMS
- 8 input channels
- Double-sided Silicon Strip Detector (DSSD)
- February 2014 : 20 packaged chips (MQFP100)
- the ASIC was validated.

Production :

- 2014 : bonding of 7 large detectors (DSSD) on PCB cards at IPNL
- April 2015 : production of 180 additional chips to equip all the plans of the Silicon Scatterer
- March 2015 : realization of DAQ card which will compose plans of the silicon scatter detector
- The tests are scheduled for the 4th quarter of 2015

Human resources and collaborations :

- This work is done thanks to IPNL electronics team (M.Dahoumane) and Cas-Phabio group.
- Tests and calibration will require more human resources !!!



Block diagram of a complete readout chain

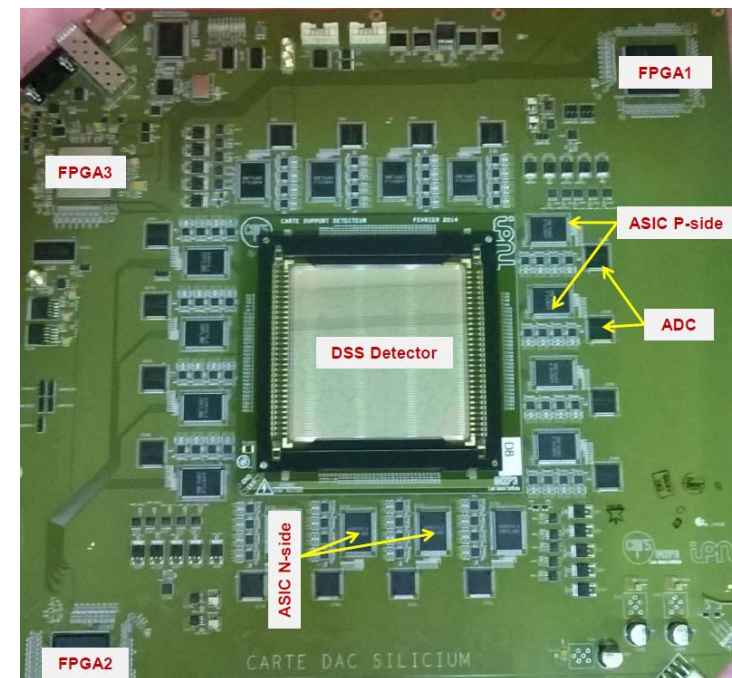


Photo of the DAQ card



1- HODOPIC: readout of a beam hodoscope with time tagging feature

incident ions are tagged in X,Y position and time with a resolution < 1ns
max expected trigger rate: 100 MHz

Hodoscope detector composed by optical fibers + multi-anode PMs

32+32 channels/PM: fibers read from both ends

16 asics required for a Compton camera: production completed

Framework: hadrontherapy dose deposition imaging device (end 2016)

2 – First silicon: HODOPIC is a multi-channel device integrating a time stamper unit

design started after two evaluation prototypes integrating the front-end channel and a DLL

2010 1st evaluation chip -> 2013 HODOPIC design submission -> 2014 end functional tests

One designer (equivalent) / 4 years: (well known) AMS BiCMOS 0.35 um technology

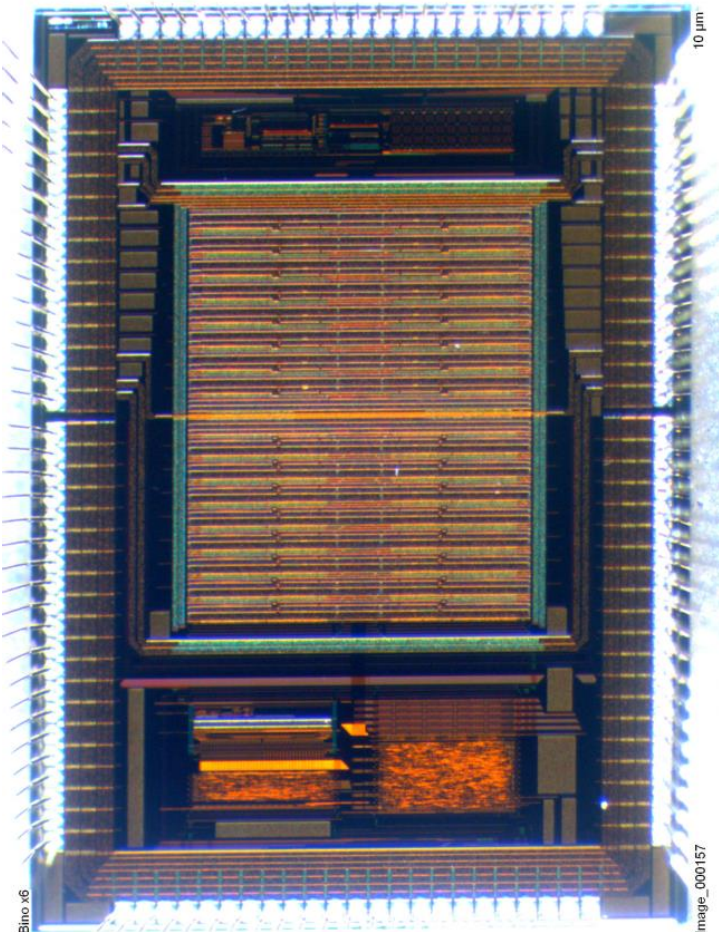
Main HODOPIC internal blocks based on S.Deng PhD Thesis (2012)

Asynchronous architecture: clock distributed only within the time stamping unit

3 - Next steps :

HODOPIC tested with the hodoscope final detector with a physical source

More tests needed to characterise the front end board (two asics:board)



(L.Caponetto)



Technology Transfer



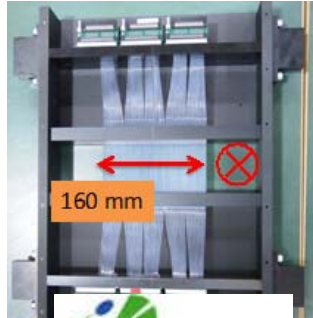
- Several chips transferred to other academic users
- Non-profit « academic price » : 100-150 €/chip, 1600 €/TB

chip	year	IN2P3 users	external users
MAROC3	2010	LAL, APC, CSNSM	NEVIS, KEK, CERN, Roma, Seoul, Pisa, Bari, Genève, Mocow, Valencia, Kolkata, Durham, Bruxelles, München, Jülich, Valparaiso, Lisboa, Bristol, Frascatti, Budapest, Catania, Glasgow, Coimbra, Grenoble
HARDROC2B	2010	IPNL, LPCCF	
SPIROC2B	2010		DESY (D), TOHOKU (JP), Bergen (N)
SKIROC2	2010	LAL, LLR	IHEP
SPACIROC1	2010	APC, LAL	
EASIROC	2010	IMNC, LAL, LLR,	Palermo, FNAL, KEK, München, Dijon, CERN, Roma, Aachen, Toulouse, Lyon, Seoul, Bari, Tokyo, Pusan, Kyushu, Osaka
PARISROC2	2010	IPNO, LAPP, LLR, APC	IHEP
CITIROC	2013		INAF, CERN, JLAB, Rio, Berne, Mendoza, Aachen
PETIROC2	2013	IPNL, LPCCF	KEK, Tohoku

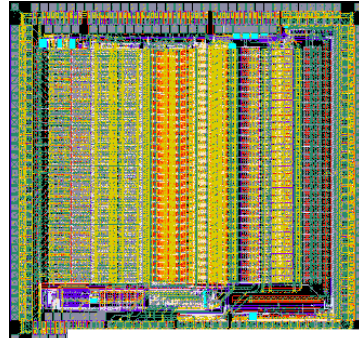


EASIROC/CITIROC : users

ΩMEGA
Microelectronics



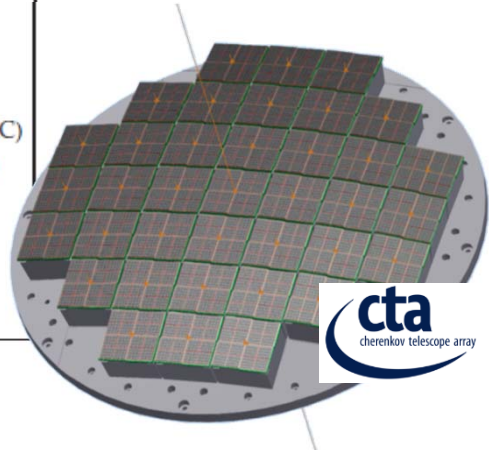
J TECH / PUSAN UNIV / KOREA
 TOKYO UNIVERSITY / JAPAN
 IFC - INAF / PALERMO / ITALIA
 IMNC / ORSAY / France
 LLR / PALAISEAU / France
 UNIVERSITY ROMA / Italy
 INFN BARI / ITALY
 IMNC / ORSAY / France
 EHWA / KOREA
 INL / LYON / France
 TOULOUSE / France
 CERN / SWITZERLAND
 RWTH / AACHEN / GERMANY
 INFN ROMA / ITALY
 CERN / SWITZERLAND
 UNIV. DIJON
 KETEK / GERMANY
 FERMILAB / USA
 OMEGA / LLR
 WEERO -> IFC/INAF/PALERMO



Users of EASIROC Modules



Name	Institute	Usage
A. Ishikawa	Tohoku	Fiber tracker (Silicon Test)
K. Ueno	KEK	Fiber tracker (COMET Test)
A. Sato	Osaka	Fiber tracker (COMET Test)
J. Tojo	Kyushu	Fiber tracker (COMET Test)
T. Kin	Kyushu	Fibertracker (Muon Radiography)
W. Ootani	Tokyo	MEG
M. Yokoyama	Tokyo	T2K upgrade
A. Minamino	Kyoto	T2K upgrade
H. Kawai	Chiba	Fiber tracker J-PARC E36
K. Kotera	Shinshu	PET/SPECT
K. Kojima	KEK	Muon detector (Material Science)
H. Nakayama	KEK	Radiation Monitor (Belle2)
A. Sakaguchi	Osaka	Fiber tracker (Nuclear Phys J-PARC)
H. Fujioka	Kyoto	Fiber counter (Nuclear Phys, GSI)
T. Murakami	Kyoto	Trigger counter (RIBF, heavy ion)
K. Hanagaki	Osaka	Fiber tracker (Silicon Test)
O. Jinnouchi	Tokyo Tech	Education
K. Yorita	Waseda	Education
T. Mibe	KEK	muon g-2

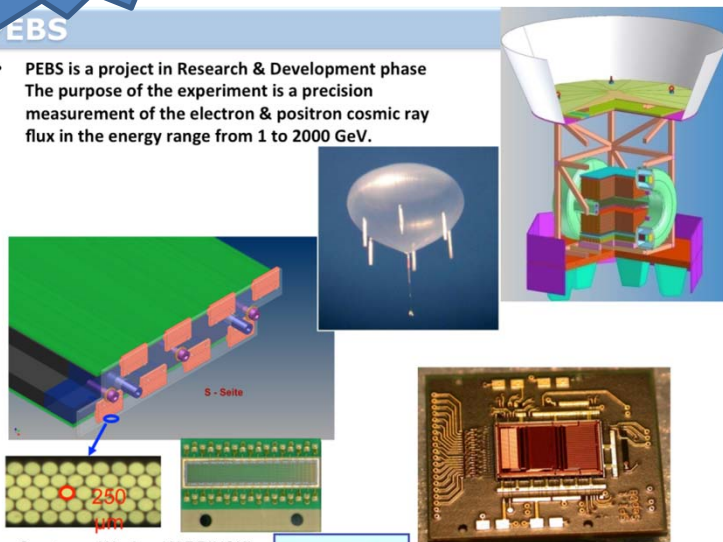




Experiments using EASIROC



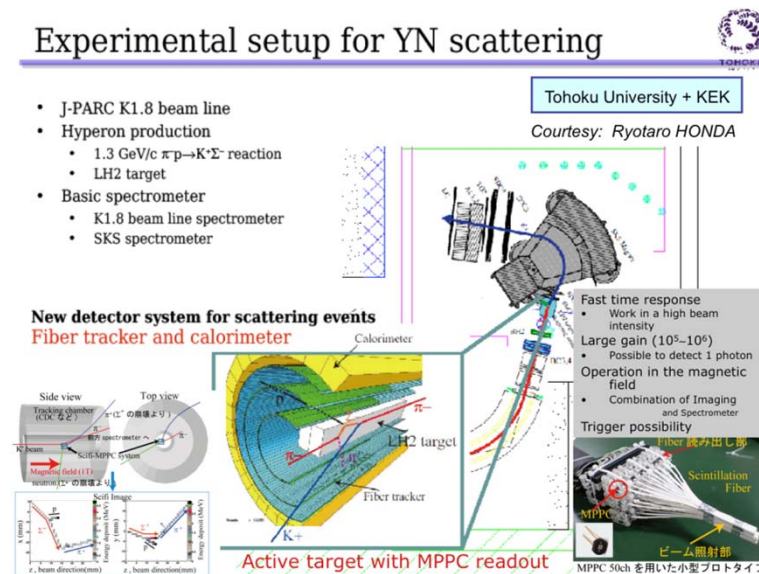
- PEBS is a project in Research & Development phase
The purpose of the experiment is a precision measurement of the electron & positron cosmic ray flux in the energy range from 1 to 2000 GeV.



Courtesy: Waclaw KARPINSKI RTWH Aachen
PEBS – RTWH Aachen

Experimental setup for YN scattering

- J-PARC K1.8 beam line
 - Hyperon production
 - $1.3 \text{ GeV}/c \pi^- p \rightarrow K^+ \Sigma^-$ reaction
 - LH2 target
 - Basic spectrometer
 - K1.8 beam line spectrometer
 - SKS spectrometer

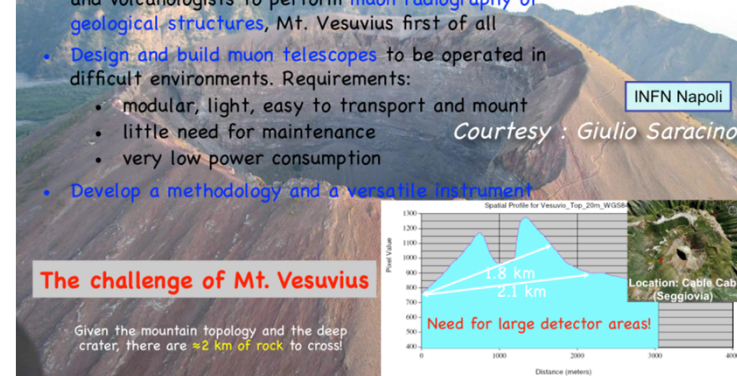


J-PARC – Tohoku University & KEK

The MU-RAY project:
high-resolution muon radiography with scintillators

Italy: Bologna, Firenze, Perugia, Napoli (INFN and Universities)
Istituto Nazionale Geofisica e Vulcanologia
Japan: Tokyo University and Hearth Research Institute
USA: Fermilab

- International Collaboration of physicists, geologists and volcanologists to perform muon radiography of geological structures, Mt. Vesuvius first of all
 - Design and build muon telescopes to be operated in difficult environments. Requirements:
 - modular, light, easy to transport and mount
 - little need for maintenance
 - very low power consumption
 - Develop a methodology and a versatile instrument



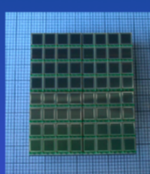
MU-RAY – INFN Napoli

SIPMED : Silicium Photomultiplier for bioMEDical imaging

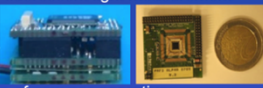


- ## To develop a novel compact photodetection system with high energy and temporal measurement capabilities for radio-guided surgery

Task 1 : Characterization of single SiPMs and SiPMs matrixes performances (scintillation and fluorescent light measurements) under laboratory and real medical conditions (e.g. temperature up to 37°C)



- Task 2 : Design and conception of a new optimized SiPM read-out electronics for both scintillation and fluorescent light measurement**



- ### **Task 3 : Development and validation of new per-operative prototypes :**

- 1) a compact positron probe
 - 2) a mono-pixel fluorescent probe
 - 3) a large field-of-view and ultra-compact intraoperative gamma-camera

Courtesy: Laurent MENARD

SIPMED – IMNC Orsay



Valorisation industrielle



- WEEROC créé en 2012 pour valorisation industrielle
 - Fondateur J. Fleury, détachement 25-1 loi 82-610 du 15/7/1982
 - Licences Cadence industrielles
 - Contrat de transfert de compétences :
CNRS-LAL/UPSSud/WEEROC → CNRS-OMEGA/X/WEEROC
 - Ingénieurs OMEGA en 25-2 à 5%
- Contrats industriels d'ASICs pour 3 secteurs :
 - Spatial
 - DéTECTEURS de radiations
 - Imagerie médicale (FP7)
- Développements communs et co-propriété sur certains chips (CITIROC, PETIROC, TRIROC...)
 - Contrat de collaboration de recherche en cours...

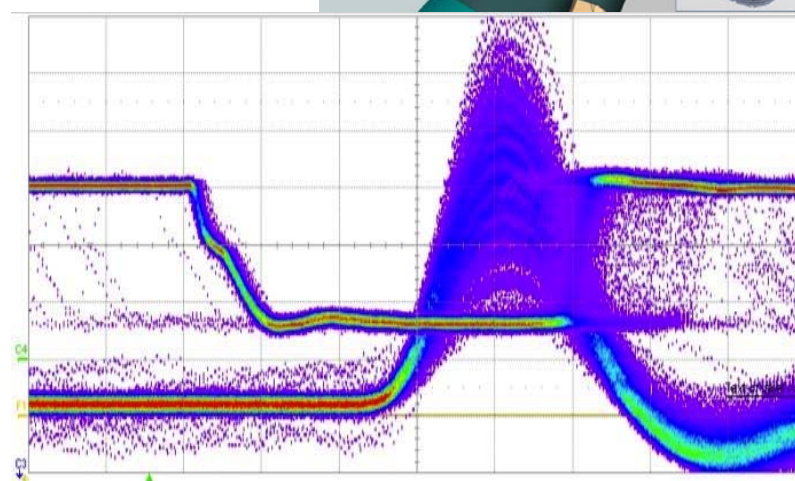
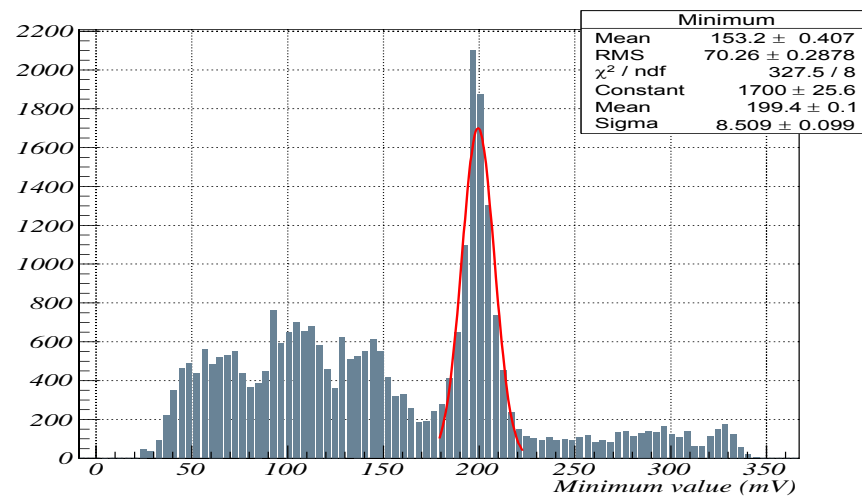
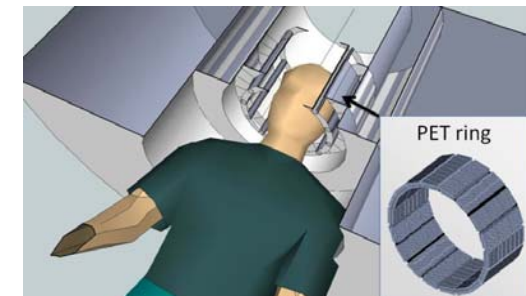
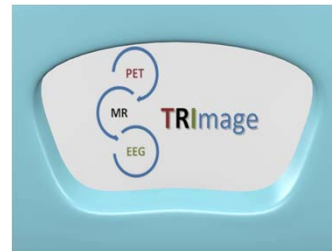
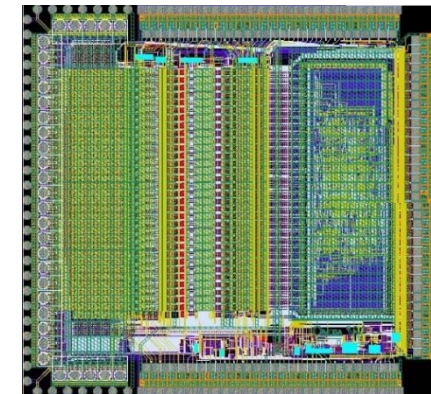




Valorisation : chips for PET SiPM



- PETIROC (nov 13)
 - 32 channels,
 - 1 GHz SiGe amplifiers/discriminators
 - Internal ADC/TDC 50ps
 - For PET and also CMS muons/TOMUVOL (IPNL,LPCF)
- TRIROC EU Project (feb14)/WEEROC
 - 64 channels
 - Dual polarity



Summary

Numerous projects of physics, on large scope

→ Instrumentation Network

ASIC developments

- Intense and diversified activity
 - Permanent staff → projects continuity
 - Structured Design Team
 - Evolutionary SoC / Sensors platforms
- It helps for technology diffusion

Microelectronics for CERN & LHC

- Important contribution of IN2P3 at early time of LHC
 - *It has structured the Microelectronics network*
- Upgrade phases, a high priority with substantial means and human resources
 - *Focus on specific technologies, such as Hybrid pixel / Cmos pixel Sensors*

Personal comments

- *To improve the current organisation*
- *"Small teams - broad spectrum" is over, Large teams with specific expertise:*
 - *Calorimetry, Cryogenics, Trackers, ...*
 - *ADC, TDC, Transmission, ...*
- *Ideal team: BB + ASIC System Designers, Test Engineers, CAD tool Engineers*
- *ASIC complexity ↗ for every domains Φ*
 - *State of Art R&D + Intensive D & R*
 - *Limited set of nodes*

Thank you for your attention

Thanks to the networks national contacts &
colleagues for their input and help